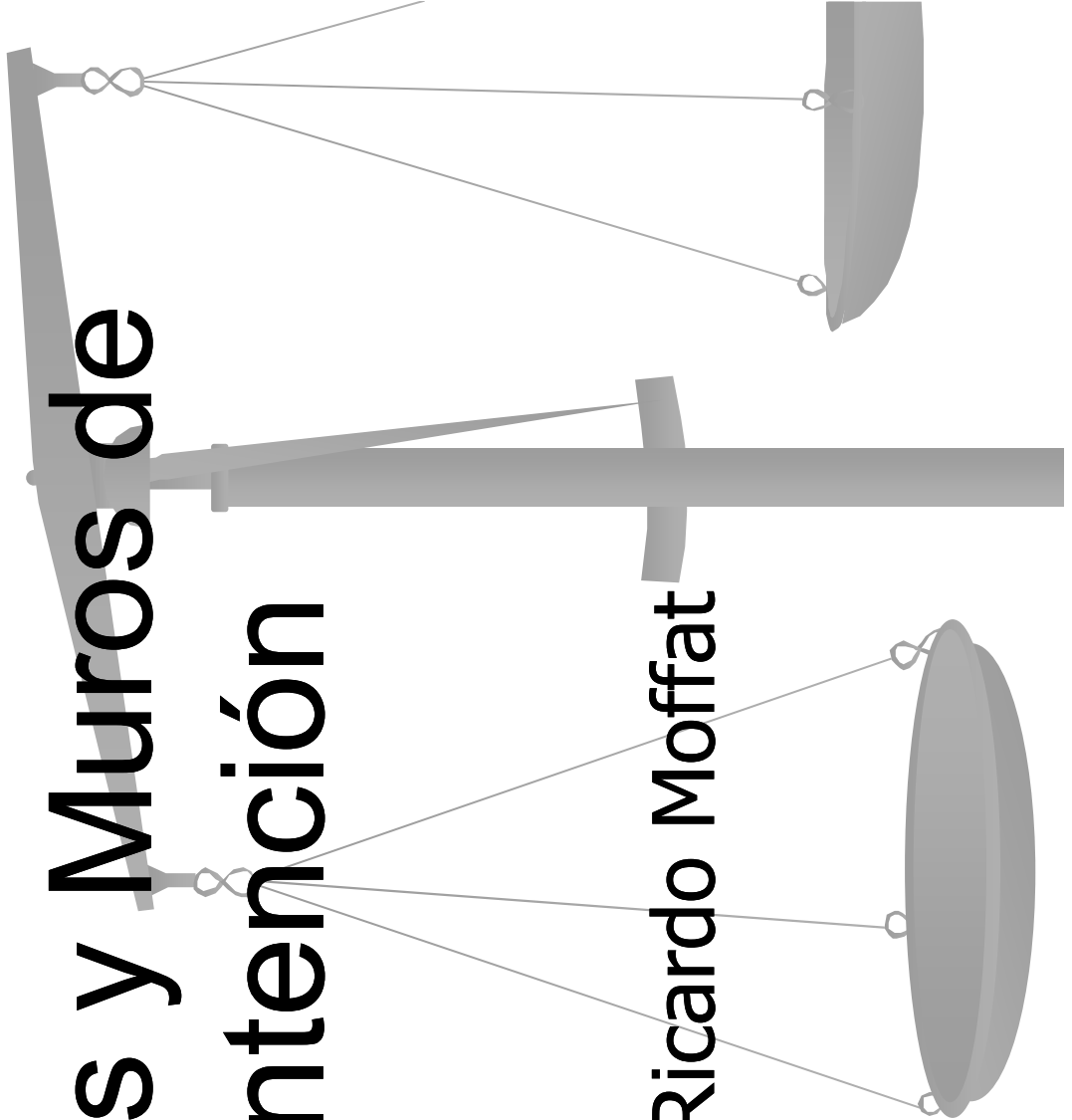
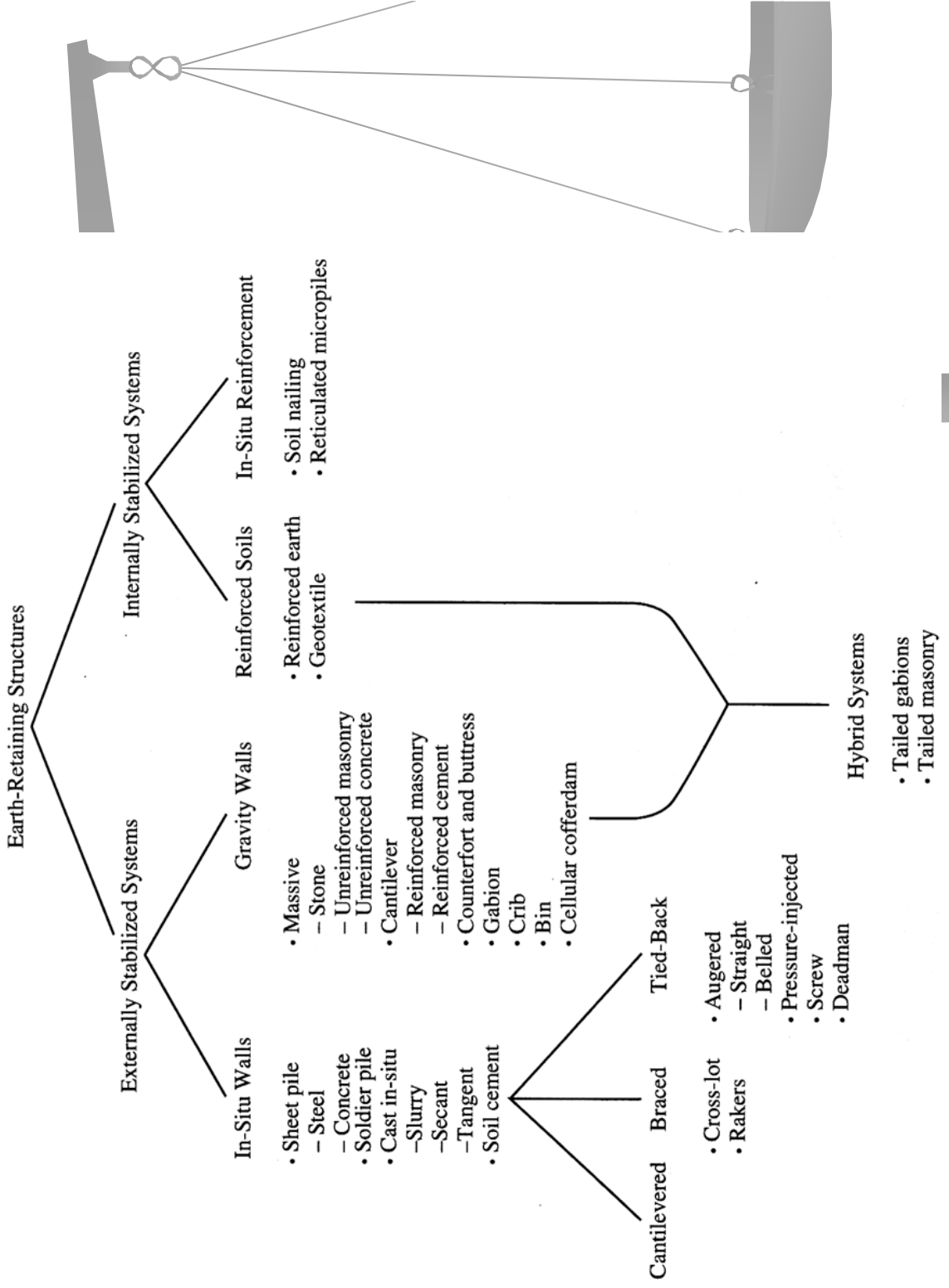


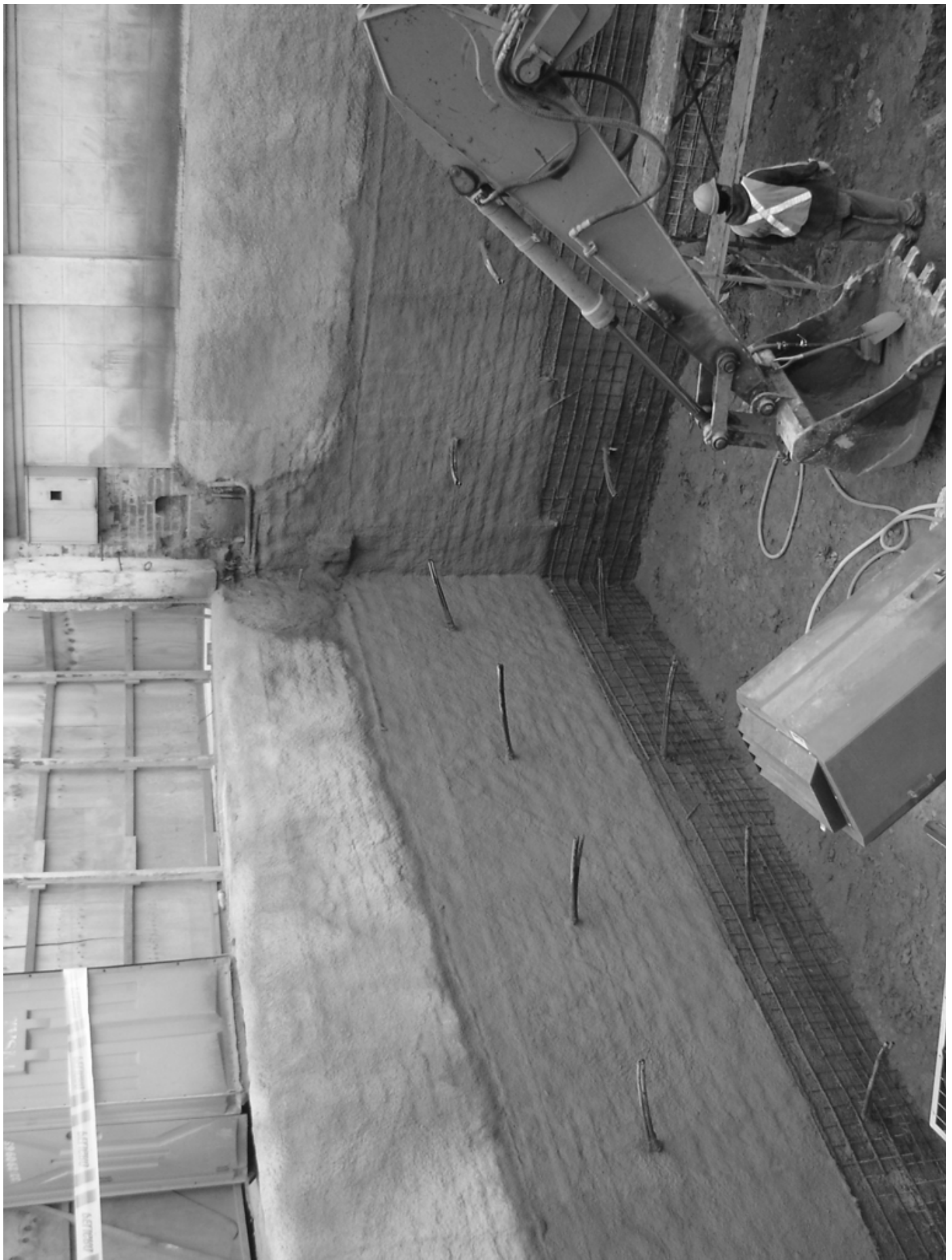
Empujes y Muros de Contención

Prof.: Ricardo Moffat



Tipos de muros



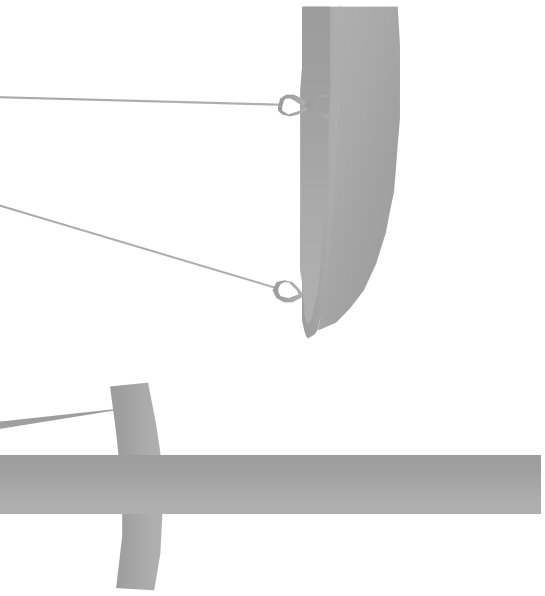


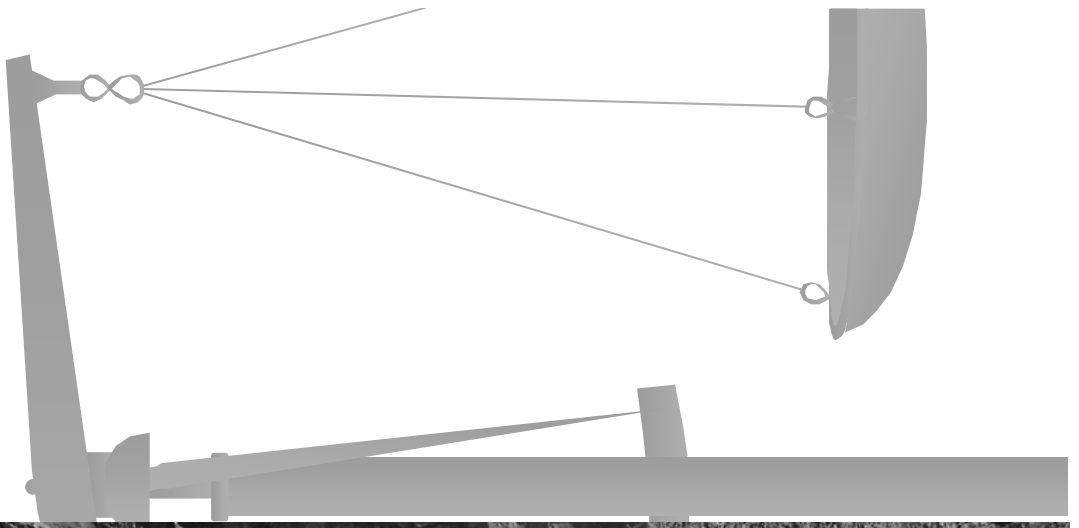




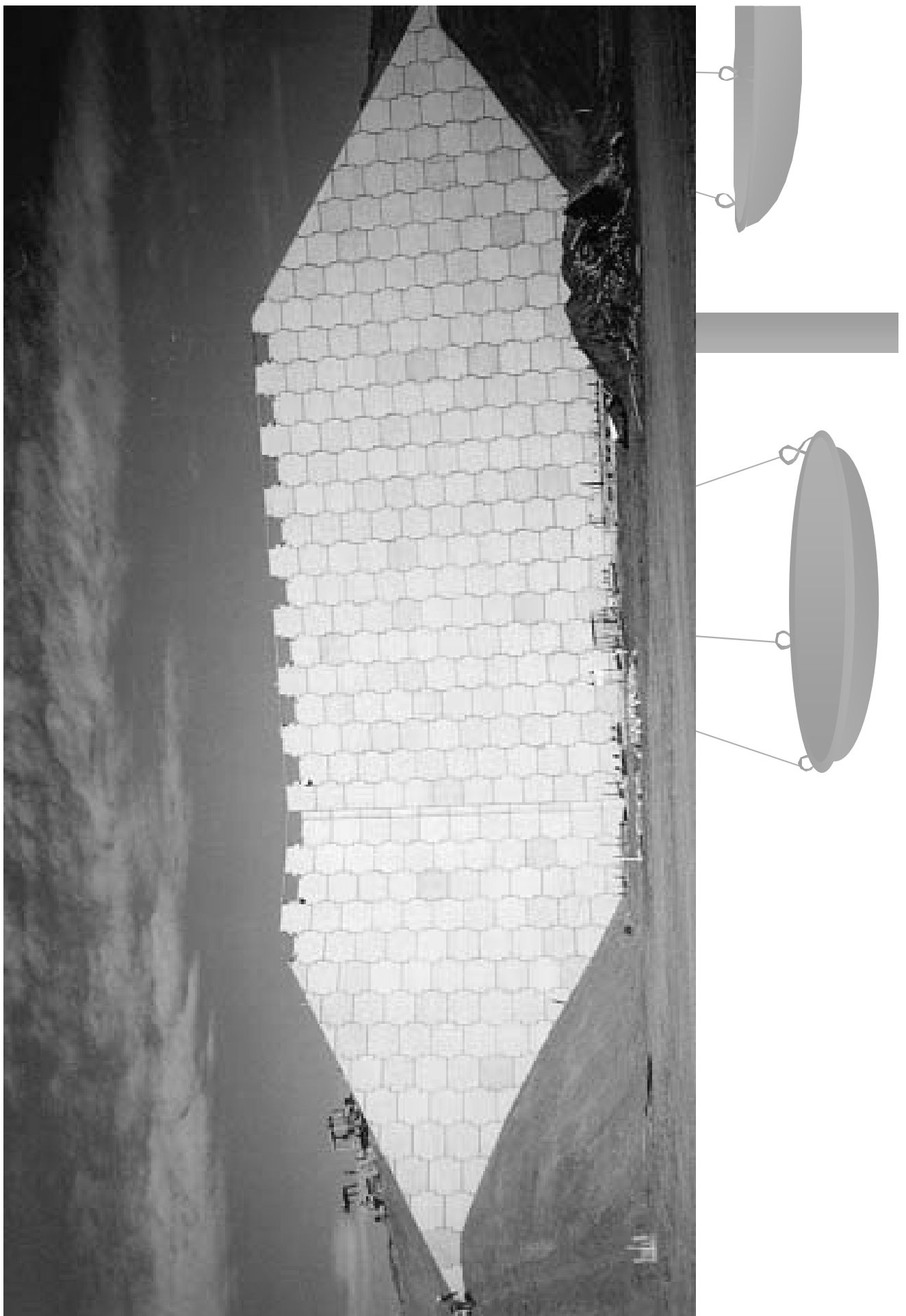














2010-04-21 13:10

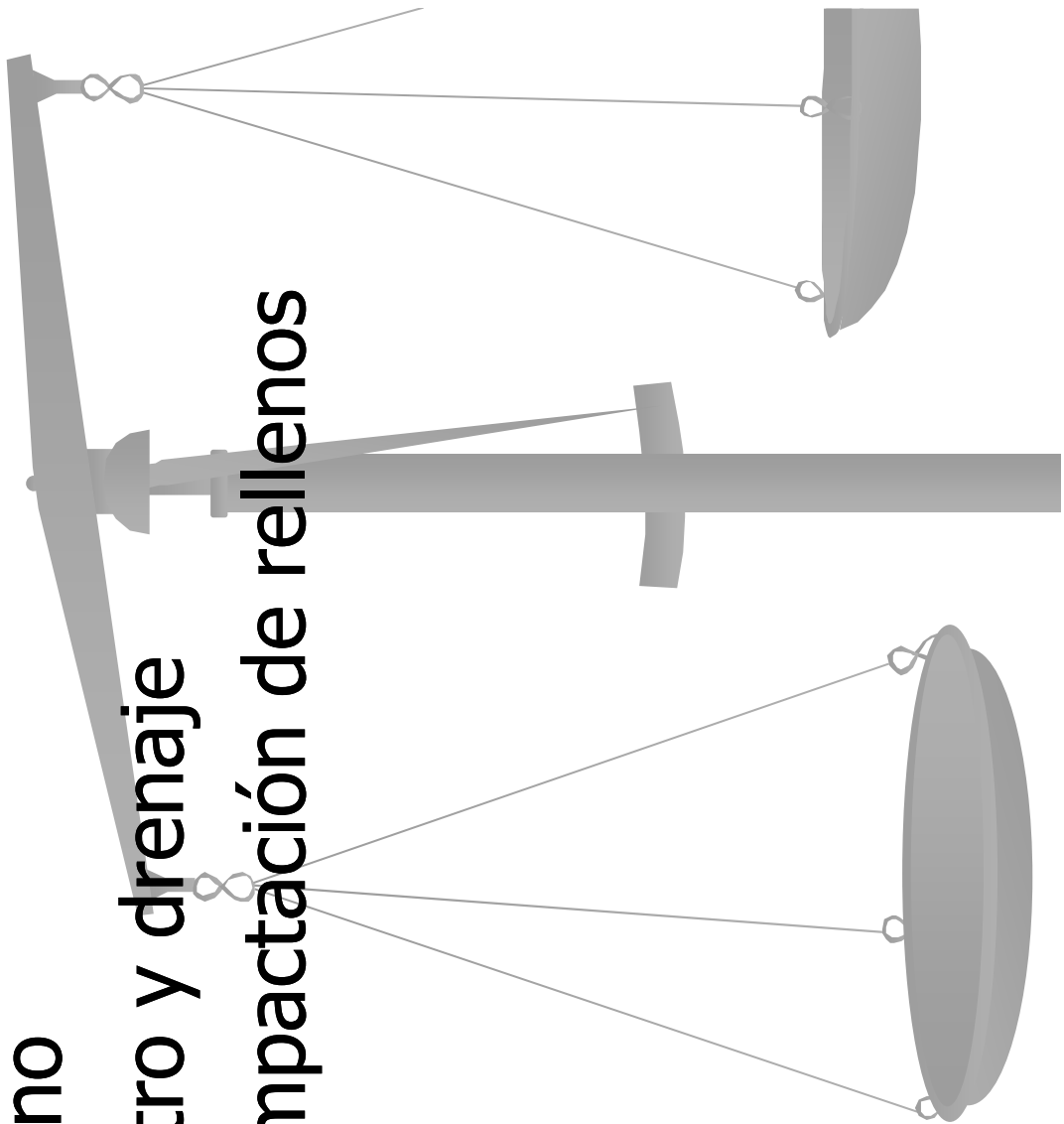




10 10 2008

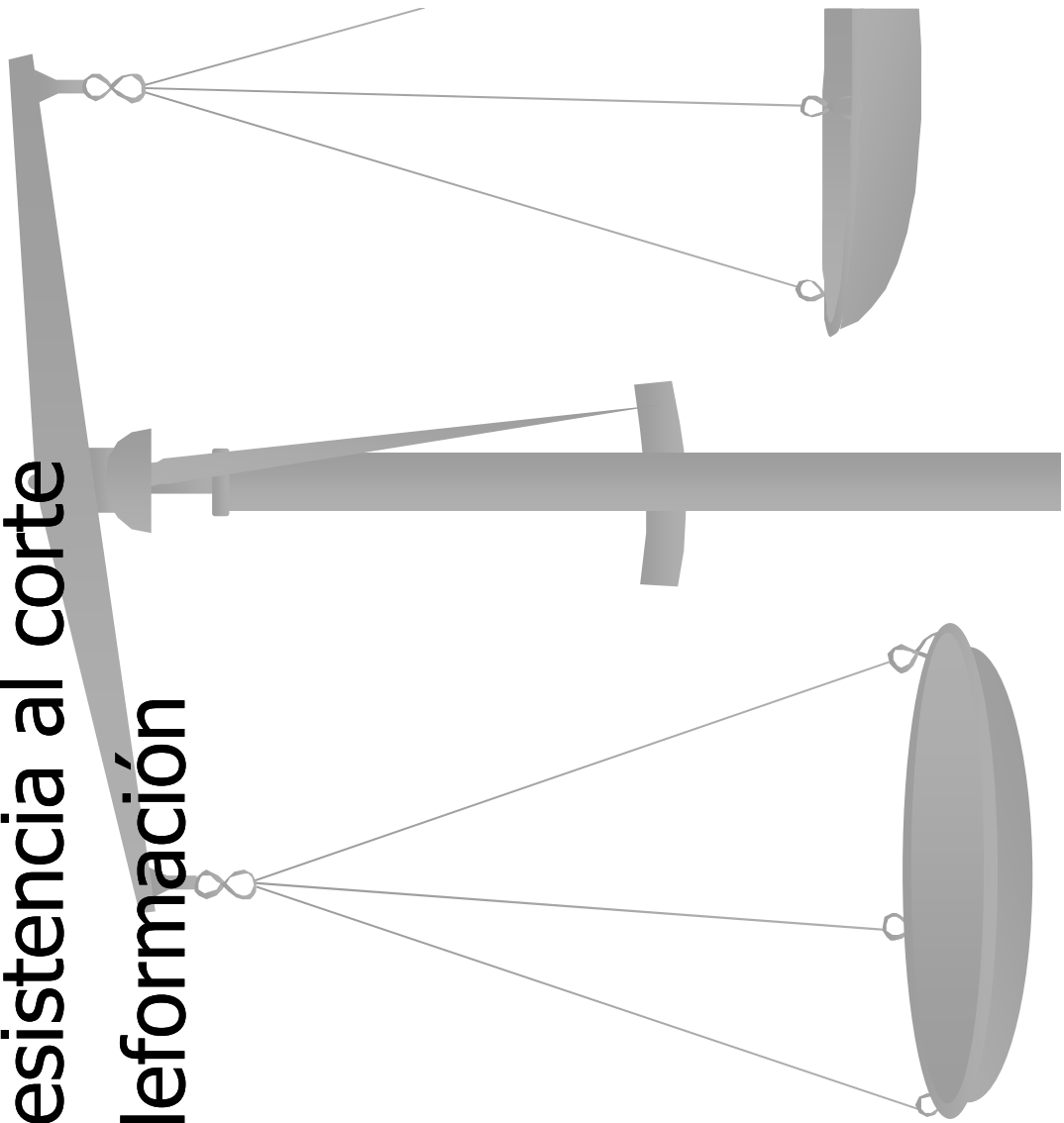
Consideraciones de construcción

- Material de relleno
- Materiales de filtro y drenaje
- Colocación y compactación de rellenos



Parámetros de diseño

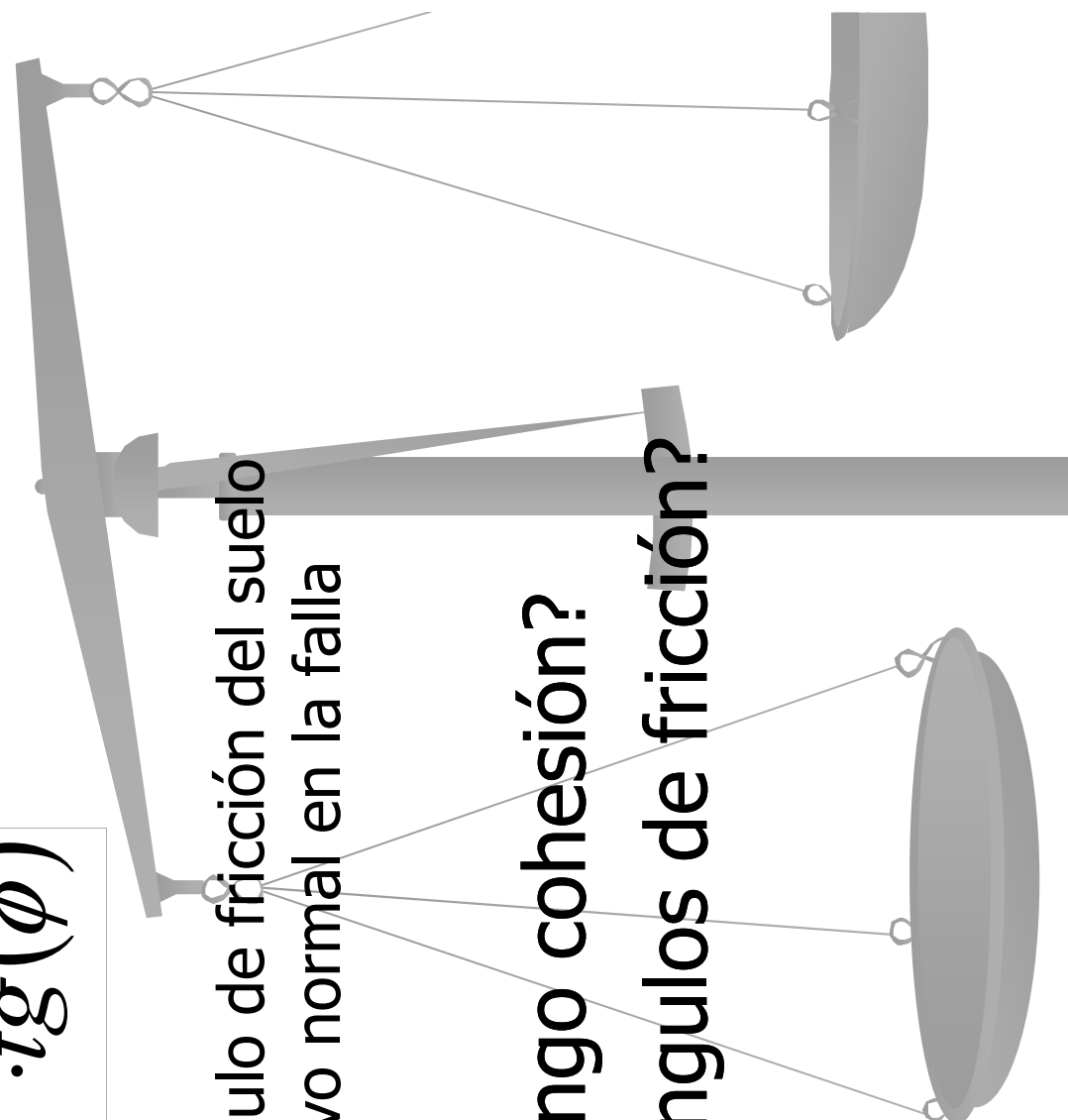
- Parámetros de resistencia al corte
- Parámetros de deformación



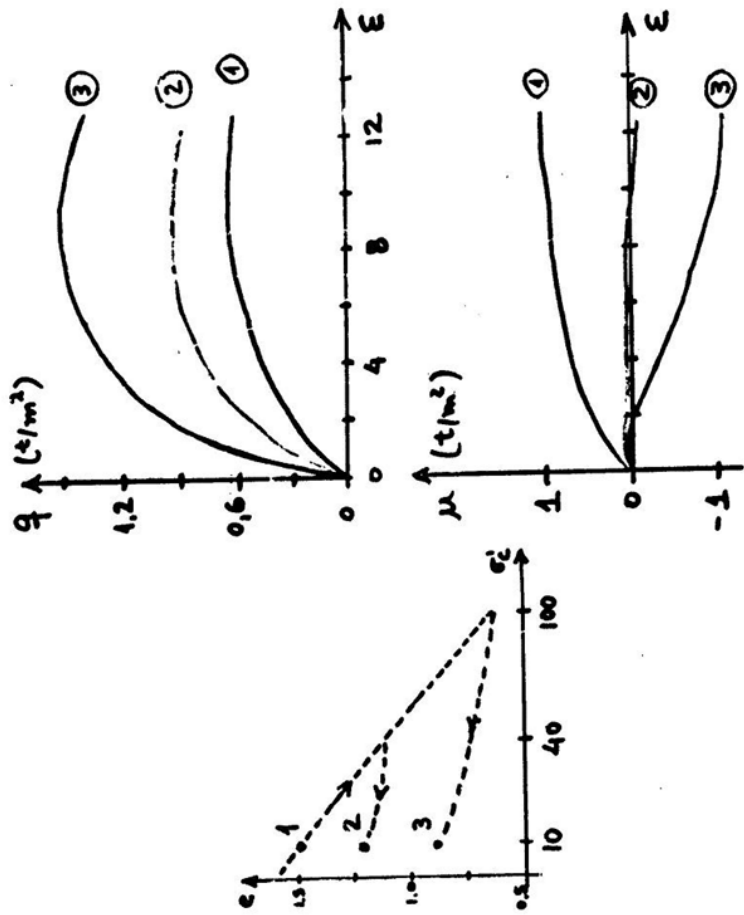
Parámetros de resistencia al corte

$$\tau_f = c' + \sigma_n \cdot \operatorname{tg}(\phi)$$

c' , ϕ' : cohesión y ángulo de fricción del suelo
 σ_n : Esfuerzo efectivo normal en la falla

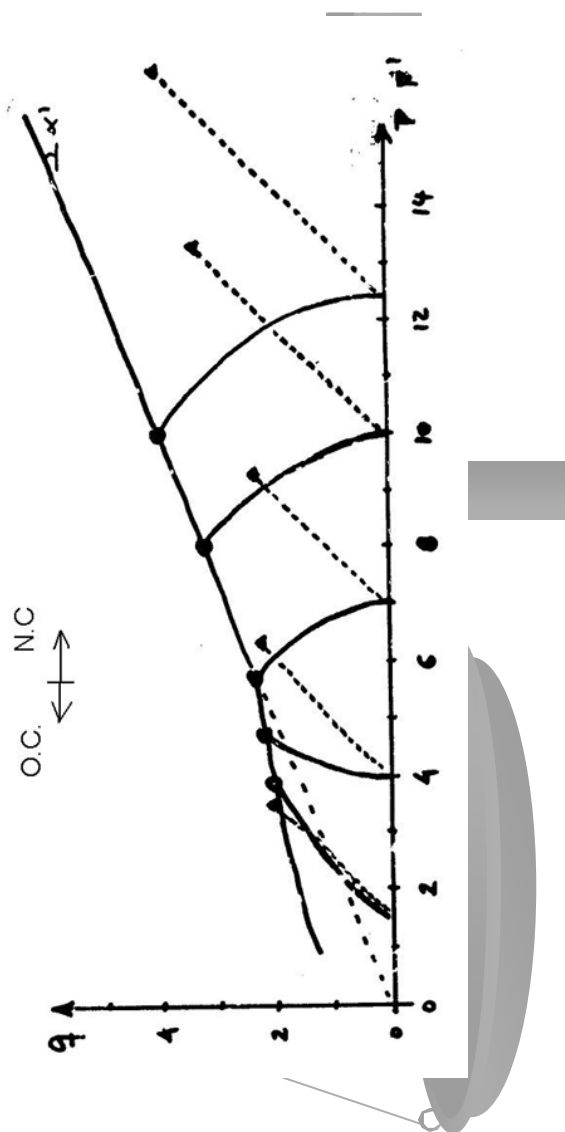


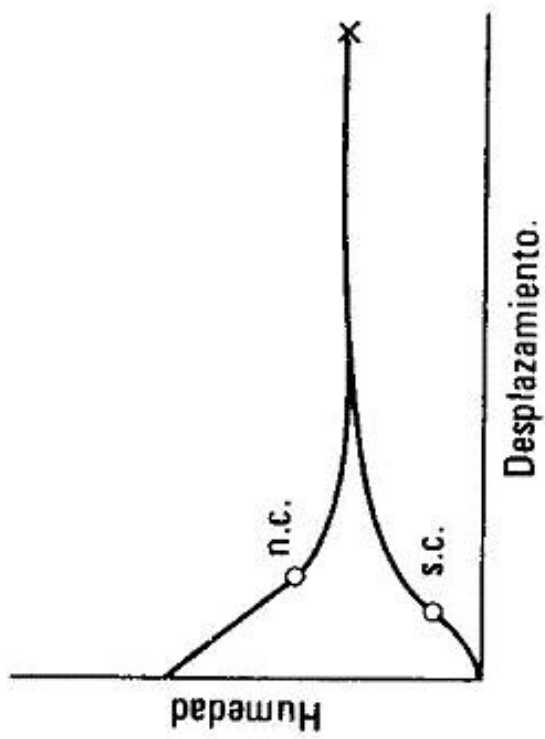
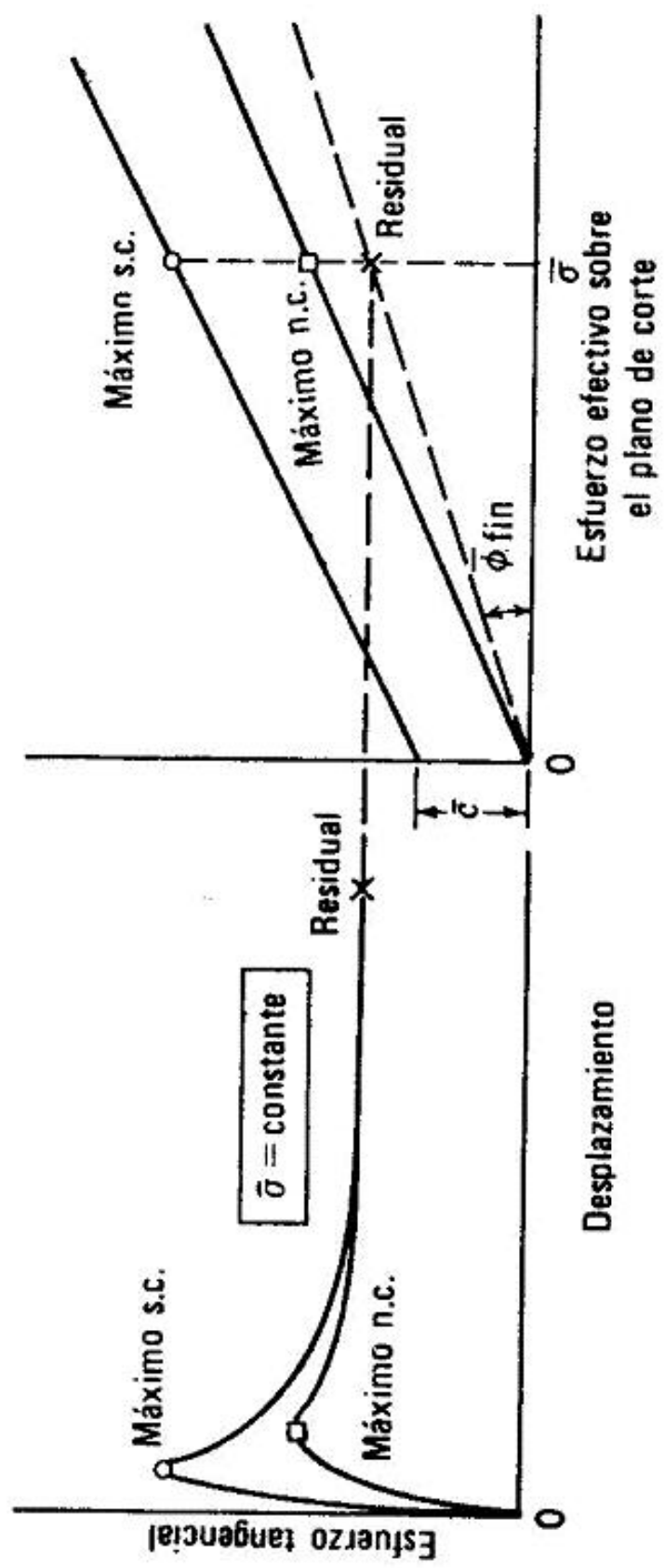
- ¿En que casos tengo cohesión?
- ¿Existen varios ángulos de fricción?



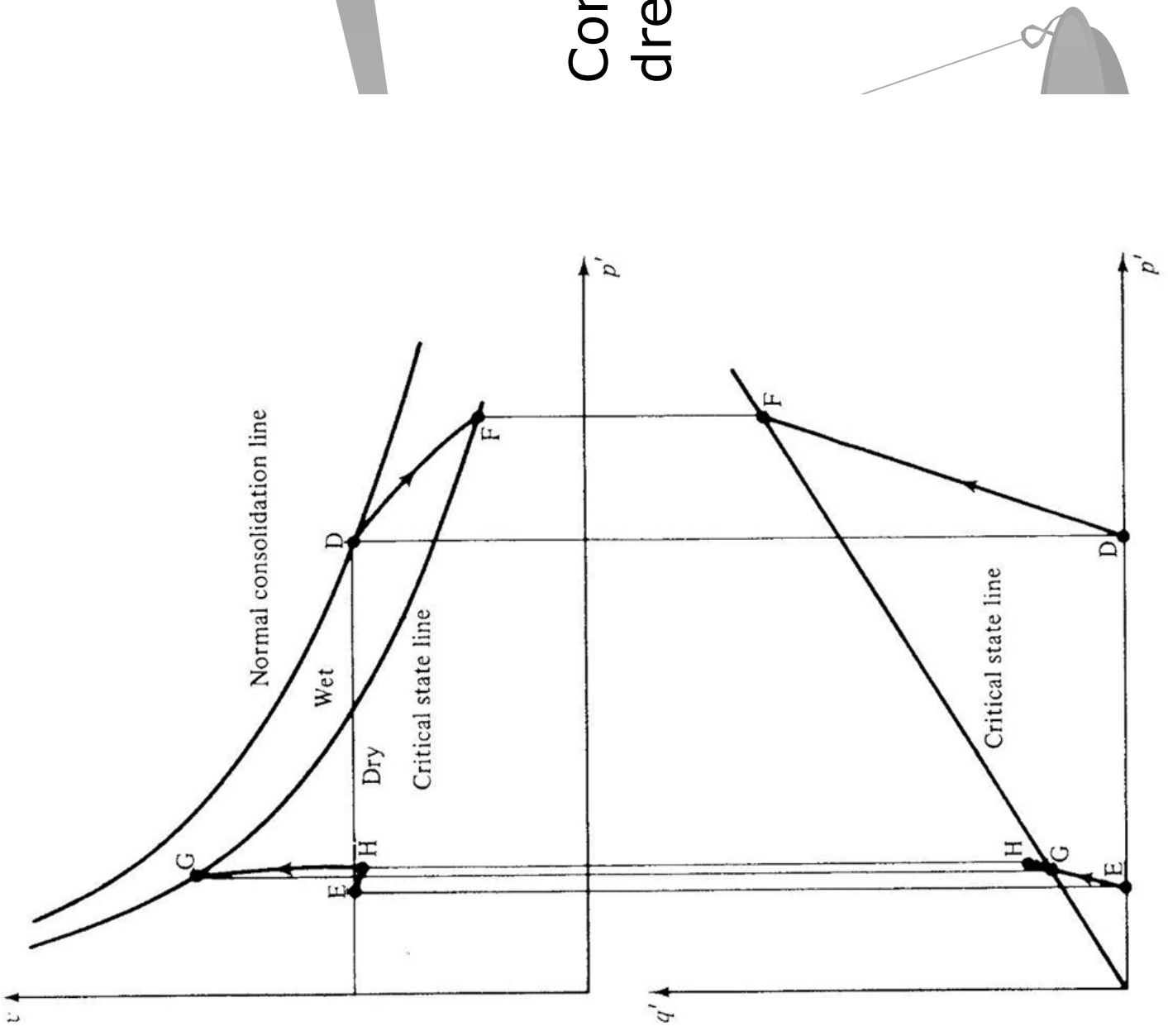
Suelos cohesivos

■ Arcilla Pre-consolidada

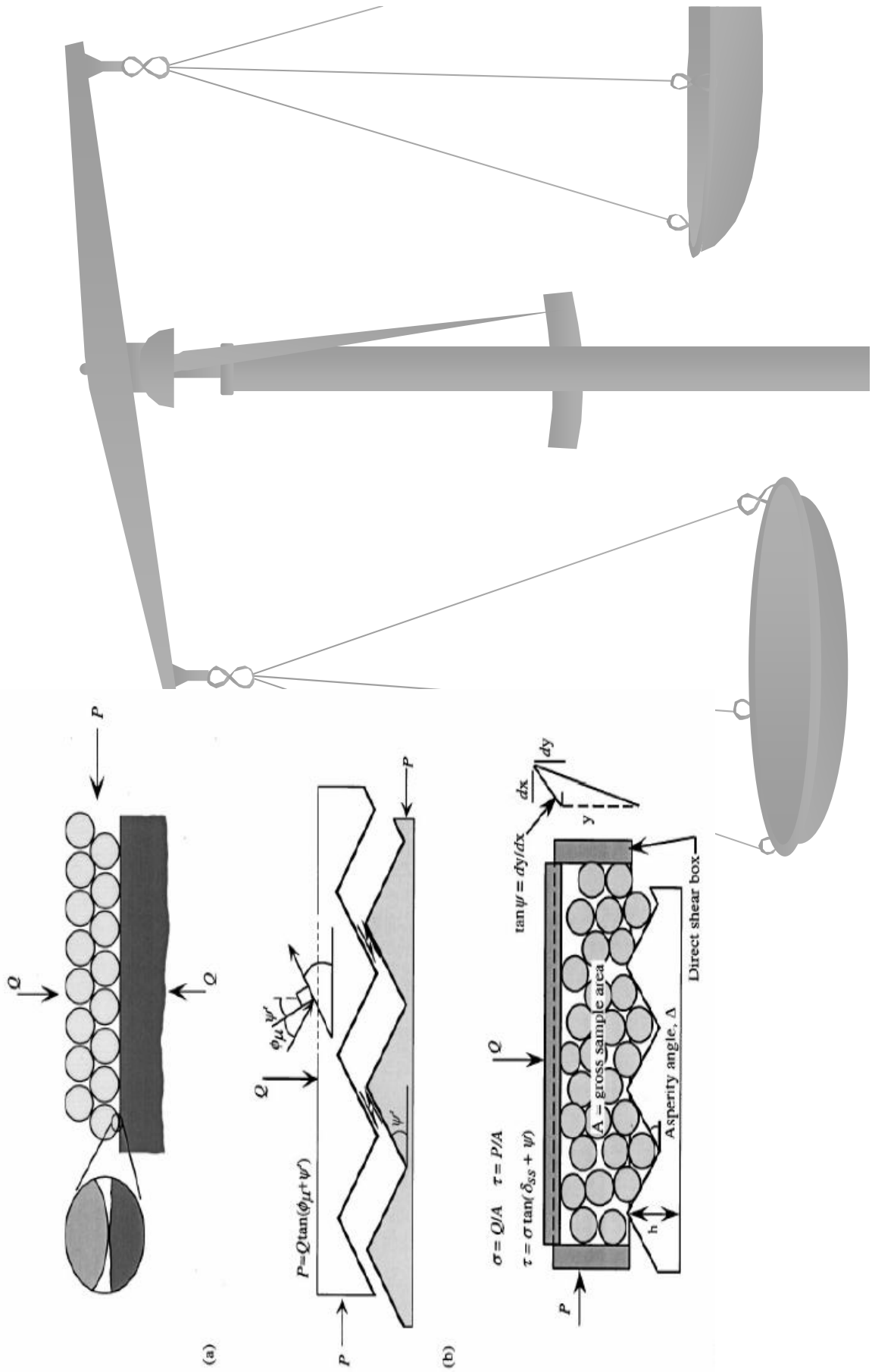




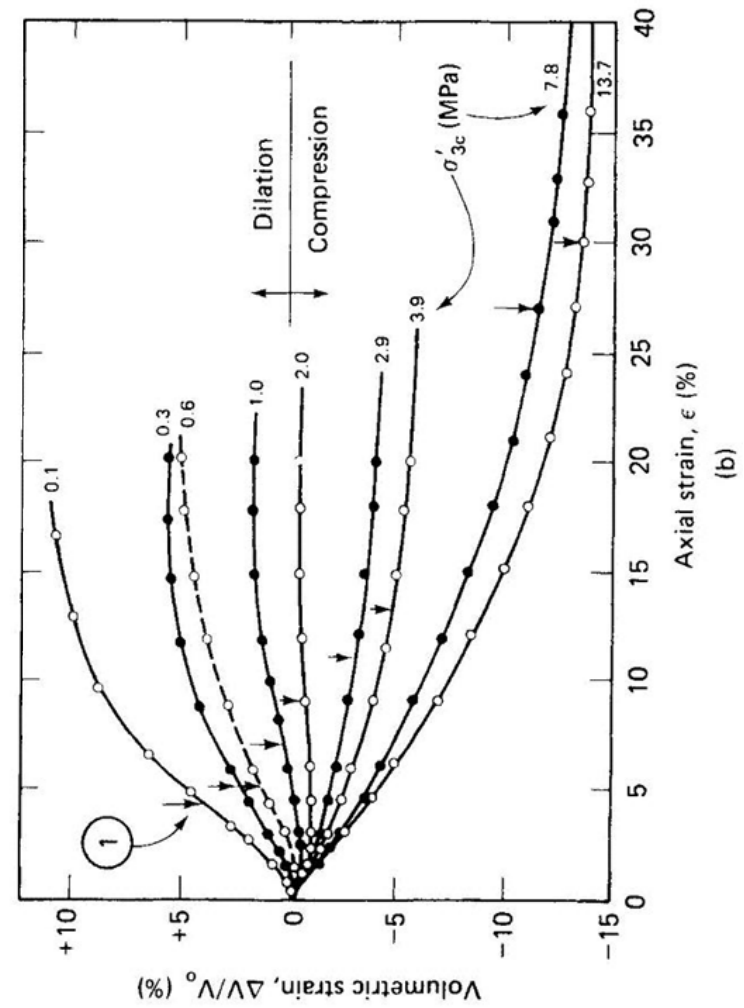
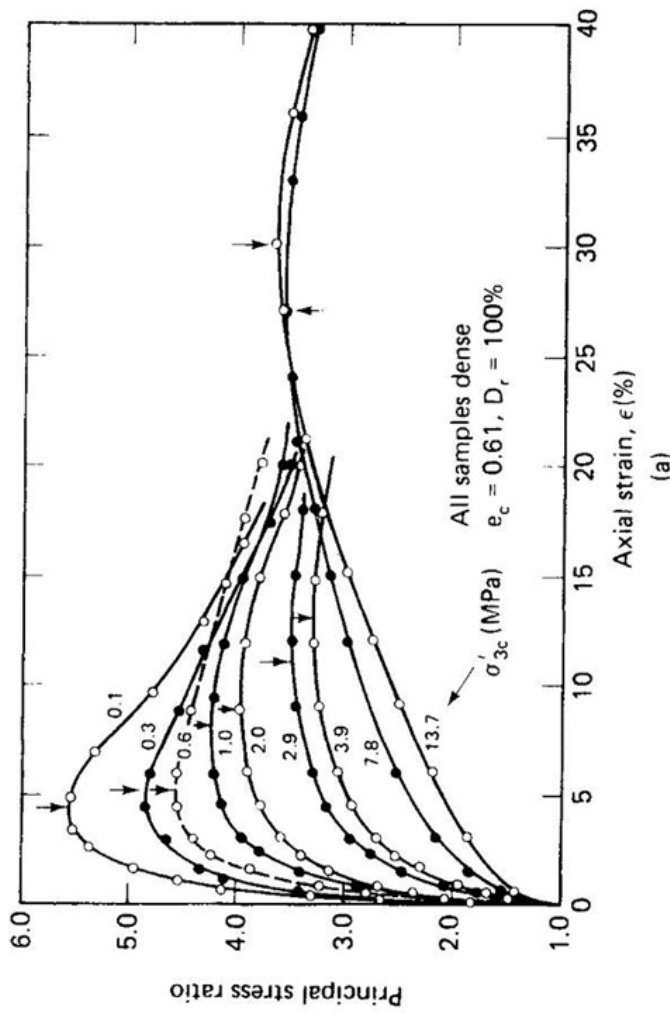
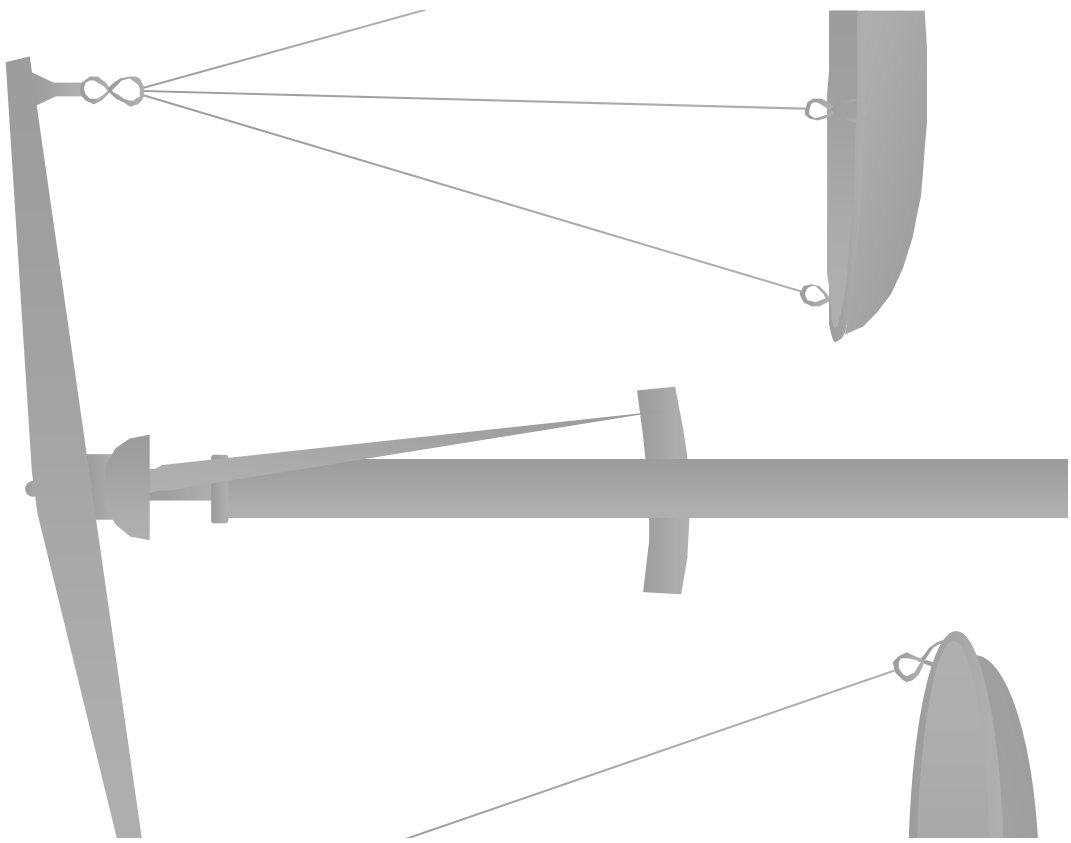
Comparación ensayo drenado NC y OC



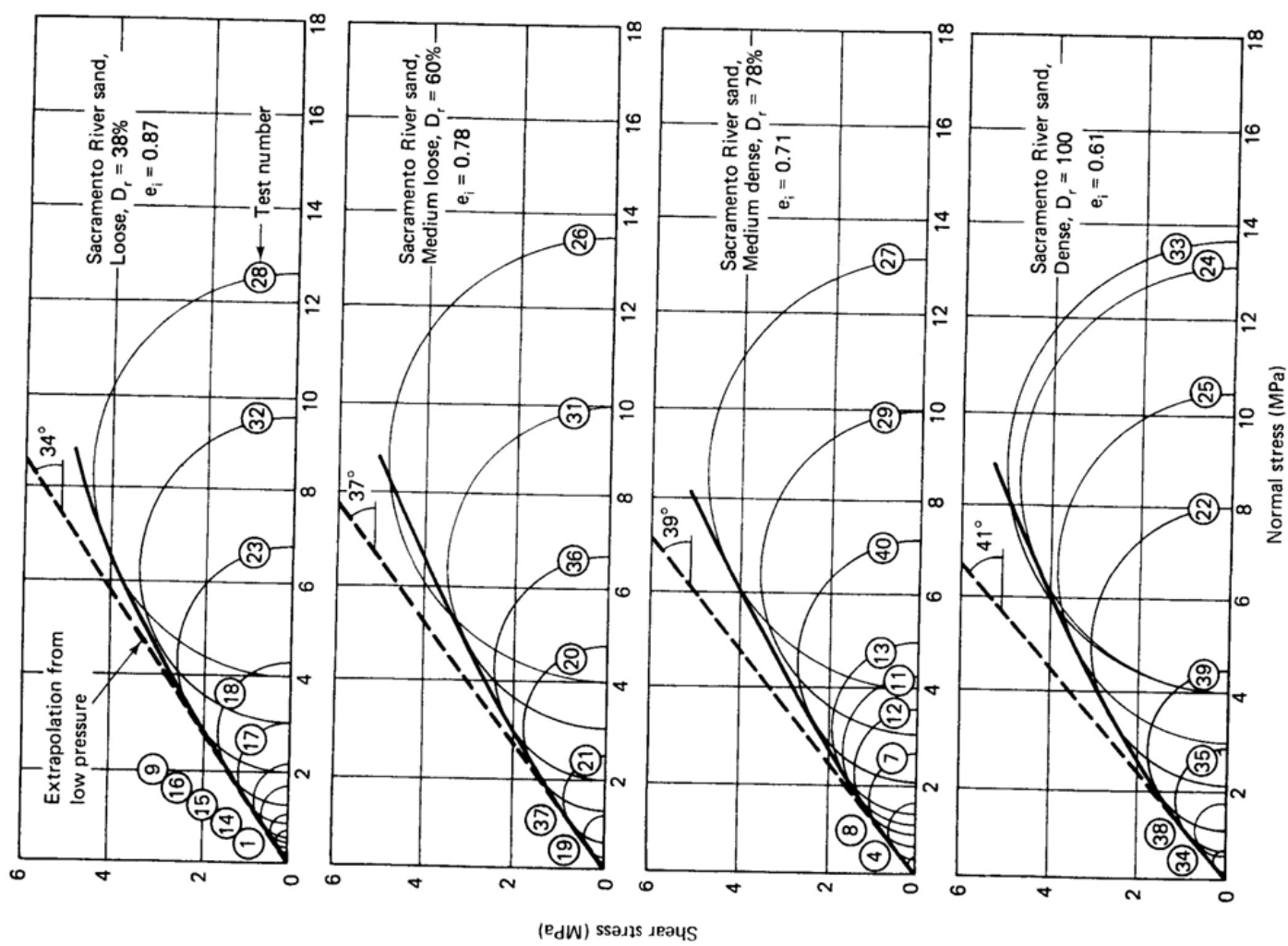
Arenas densas



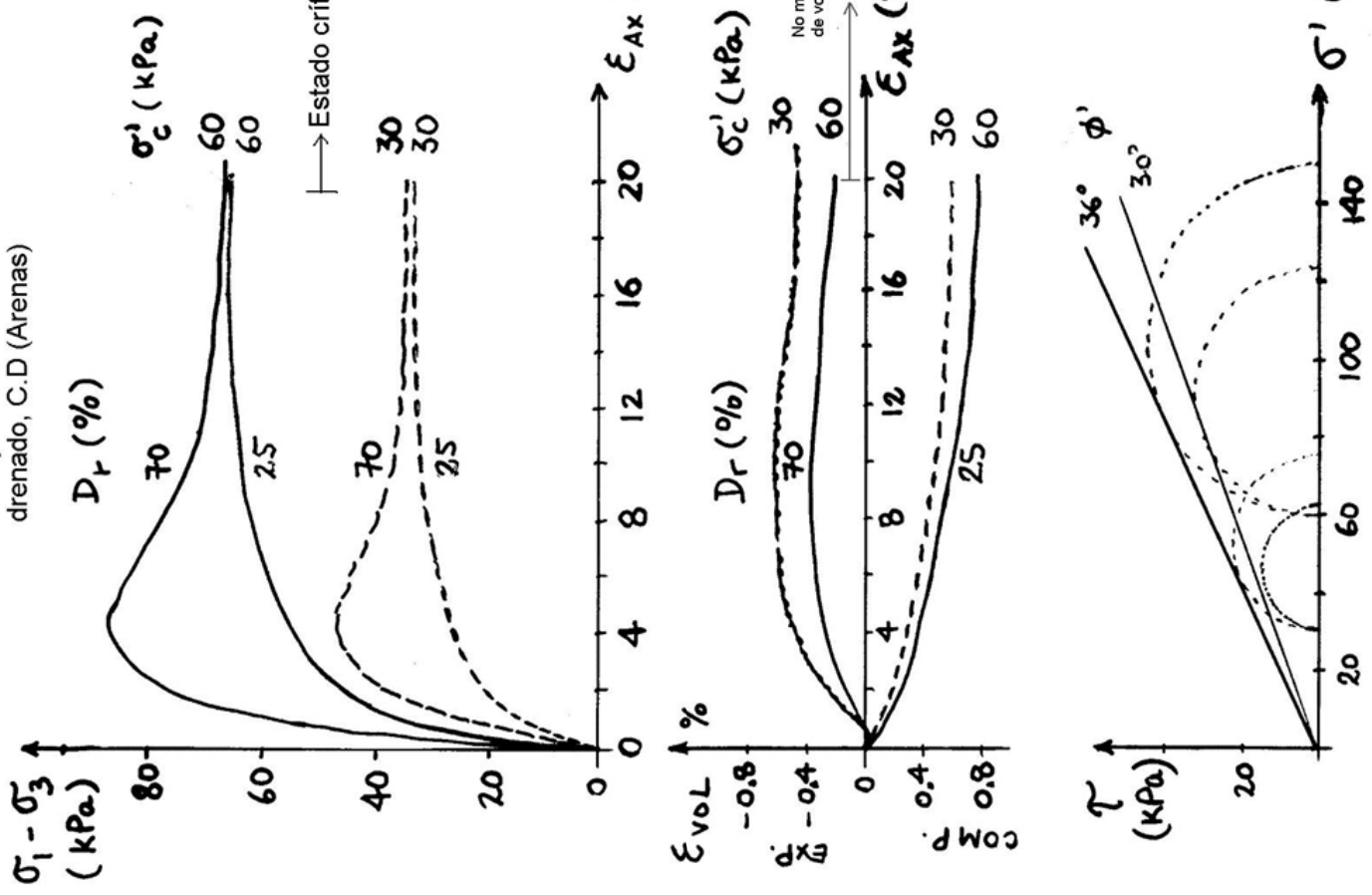
Arena densa, ensayos triaxiales drenados



Lee and Seed, 1967

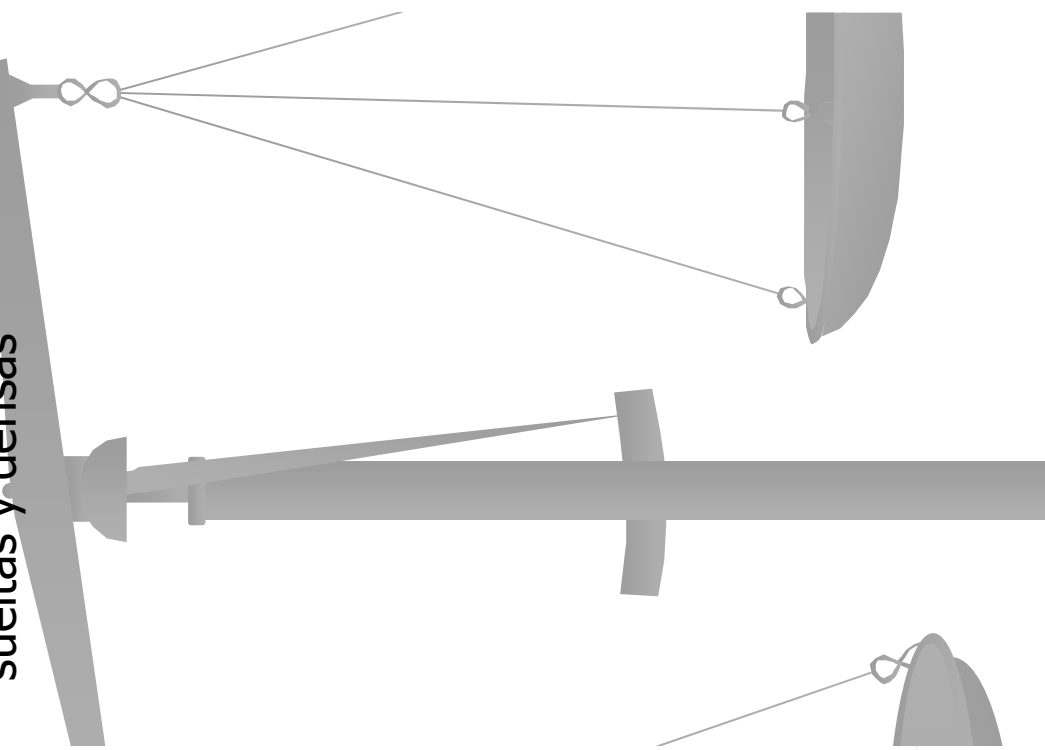


Ensayo triaxial consolidado
drenado, C.D (Arenas)



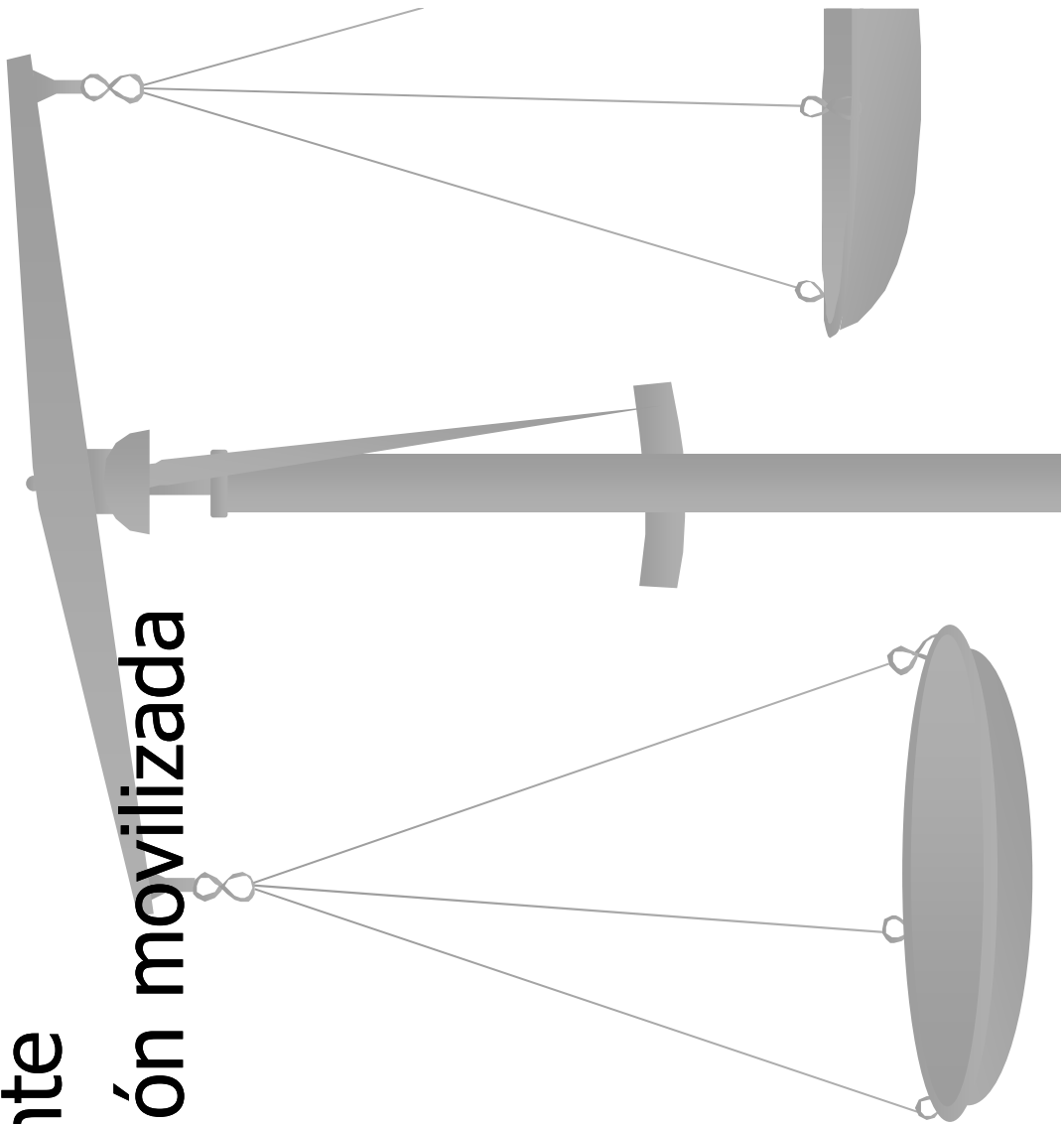
Comportamiento
drenado de arenas
sueltas y densas

→ Estado critico



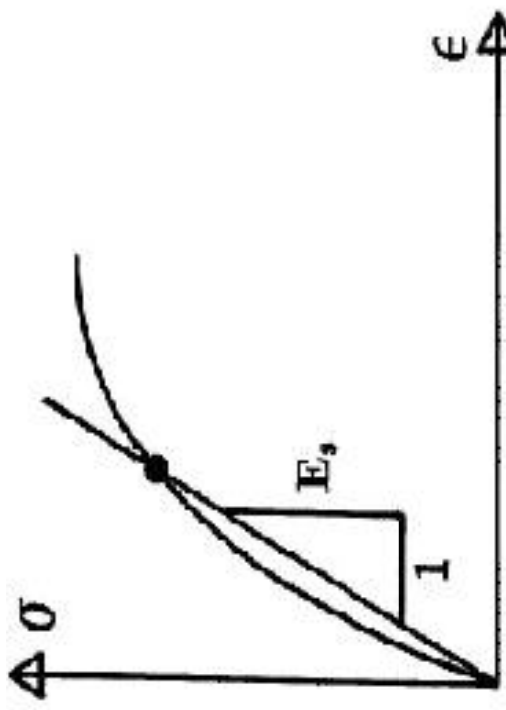
Otros conceptos

- Cohesión aparente
- Cohesión y fricción movilizada



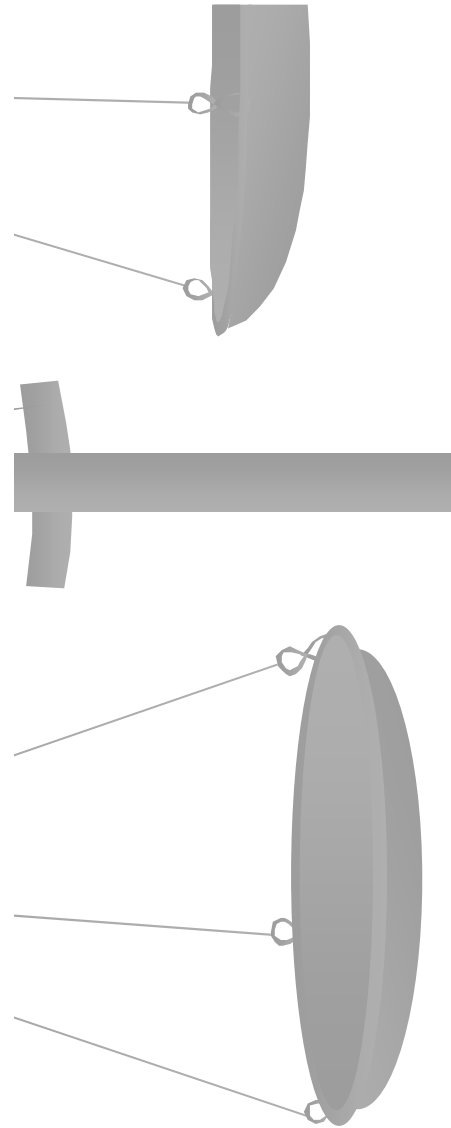
Parámetros de deformación

Se asume comportamiento elástico para el cálculo de las deformaciones instantáneas, el módulo de deformación se estima de la curva esfuerzo-deformación.



Ejemplo:

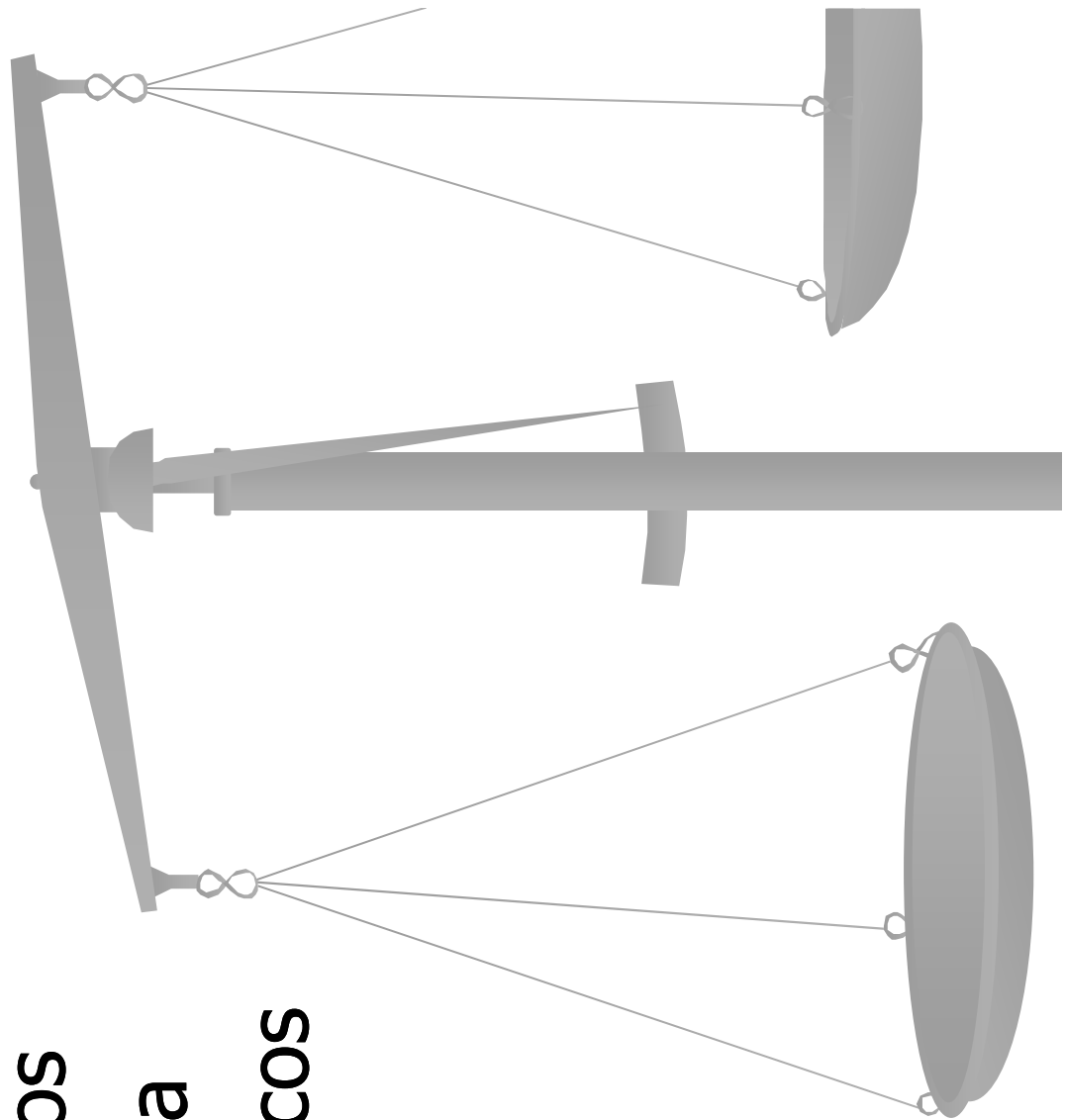
$$S = q \cdot B \cdot \left(\frac{1 - \nu^2}{E_s} \right) \cdot I_w$$



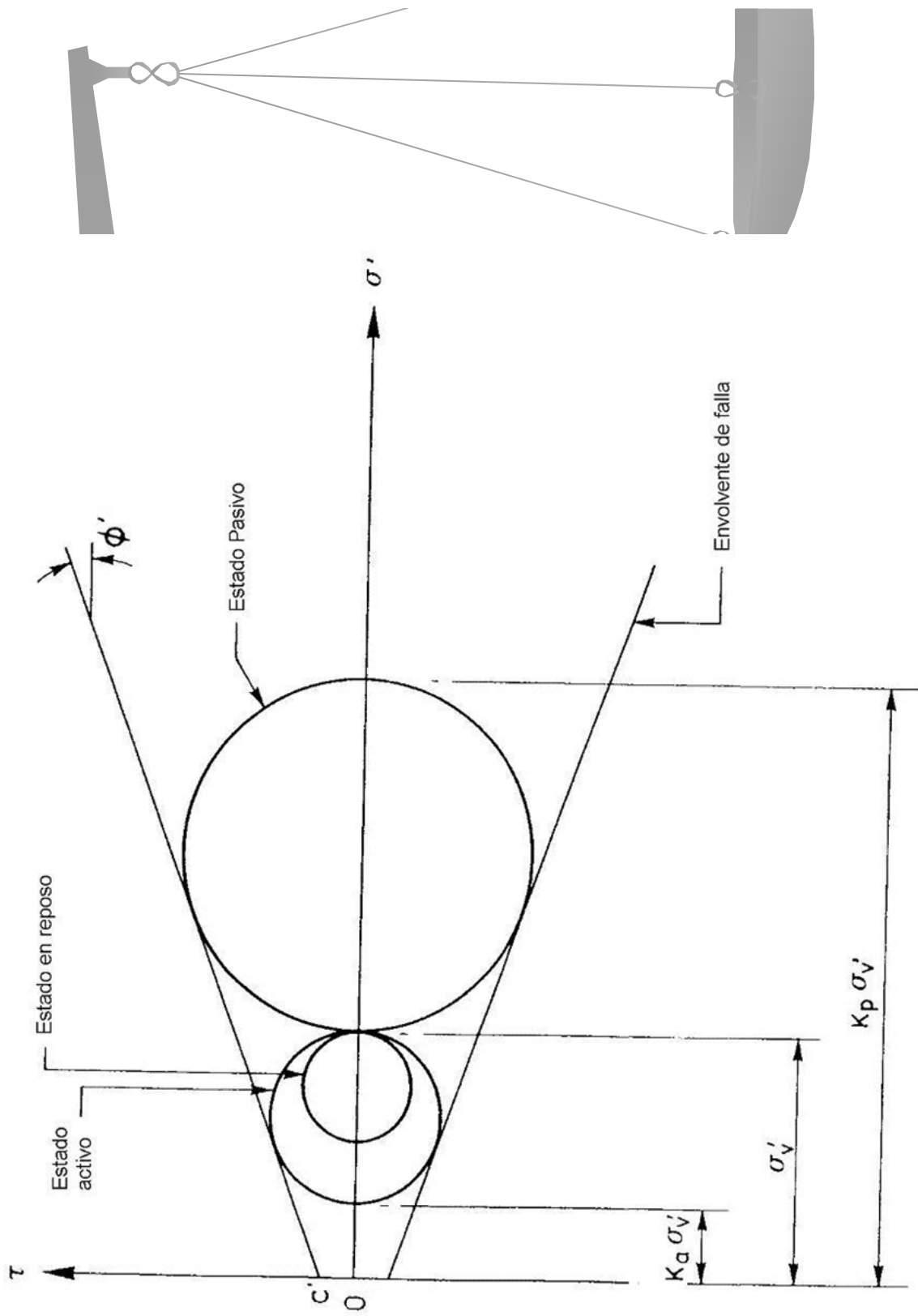
Tipo de Suelo	Estado	Módulo de Young (Mpa)	Coef. De Poisson
Grava-arenosa	Suelta	50-150	0,3-0,4
	Densa	100-200	0,3-0,4
Arena	Suelta	5-20	0,30-0,40
	Media	16-40	0,20-0,35
	Densa	30-100	0,15-0,30
Arcilla	Blanda	1-8	0,1-0,3
	Media	8-15	0,1-0,3
	Dura	15-50	0,1-0,3
	Saturada		0,45-0,50

Empuje de Suelos

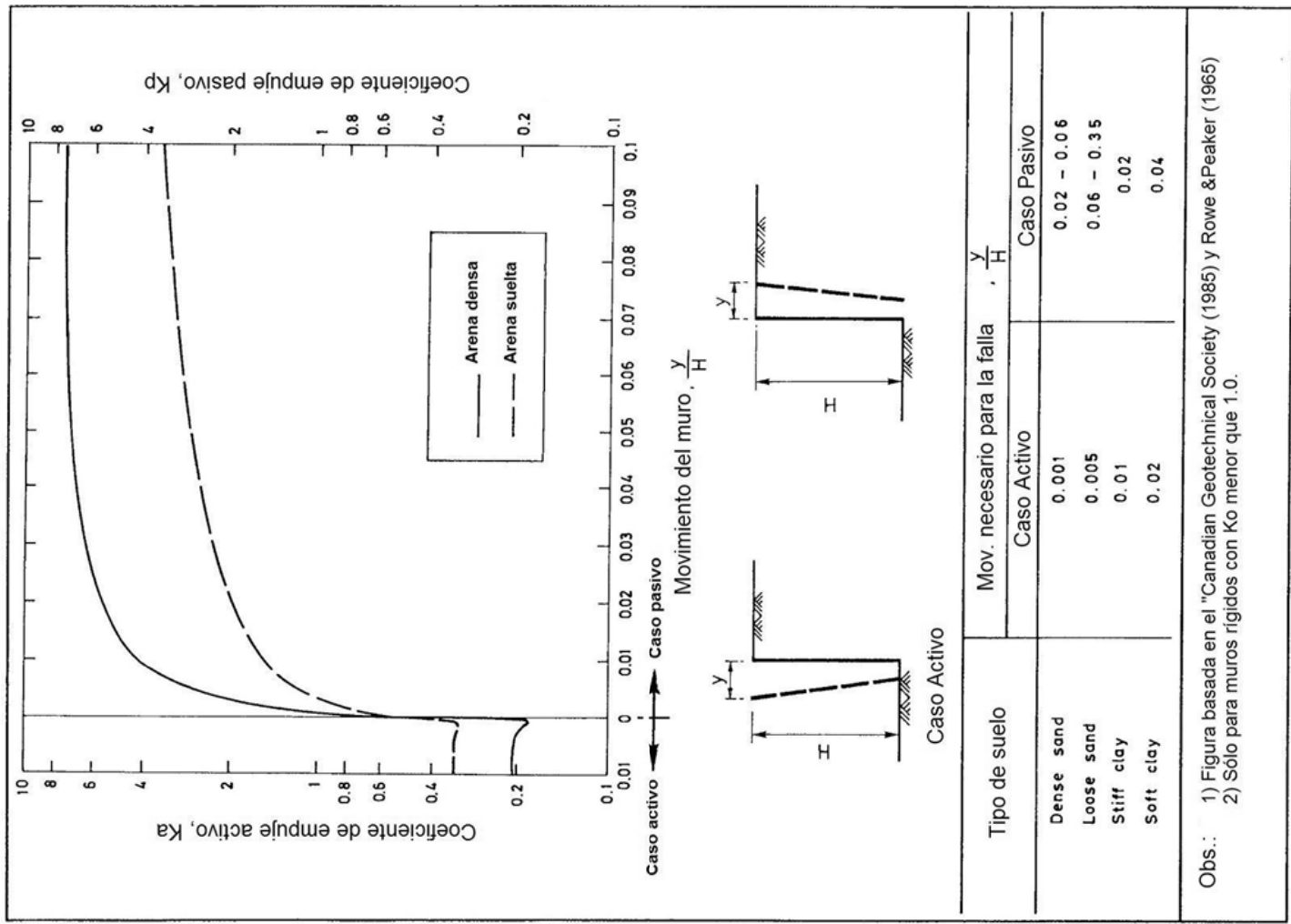
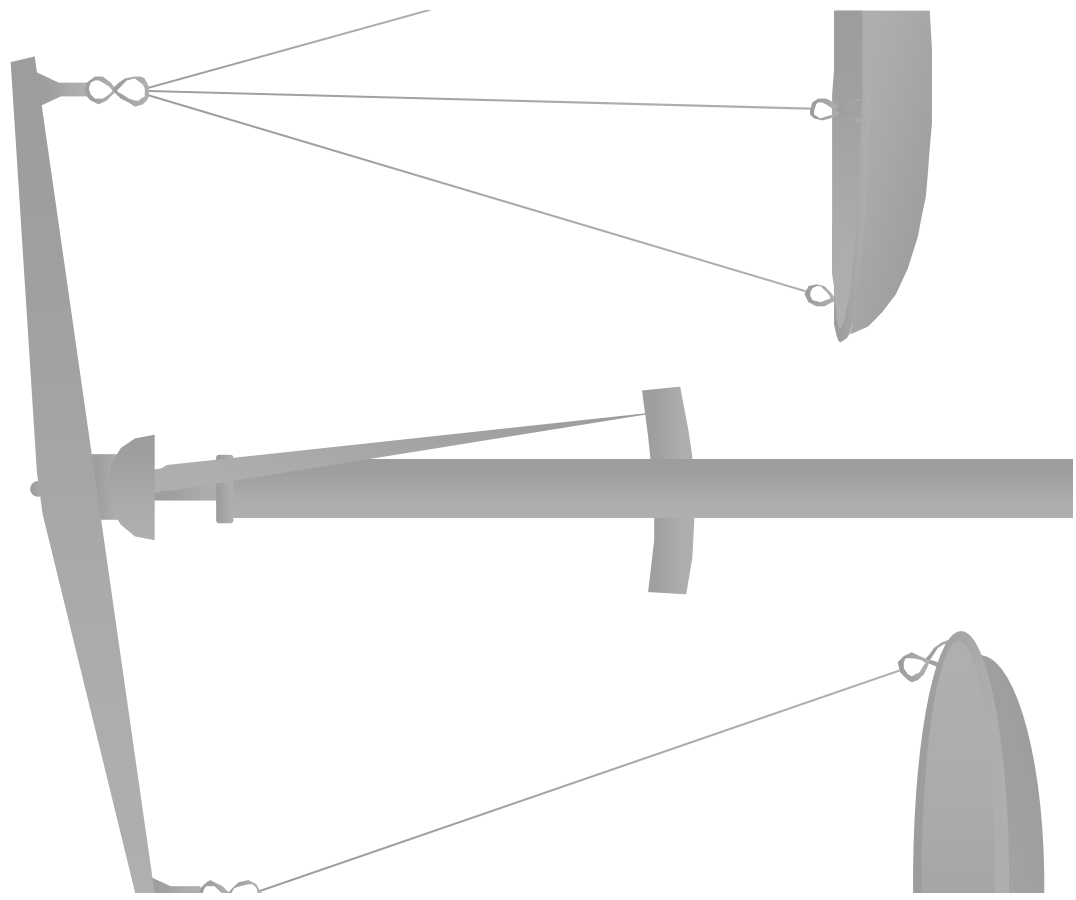
- Empujes Estáticos
- Empujes de agua
- Empujes dinámicos



Teoría de Rankine



Desplazamientos Vs. Empuje

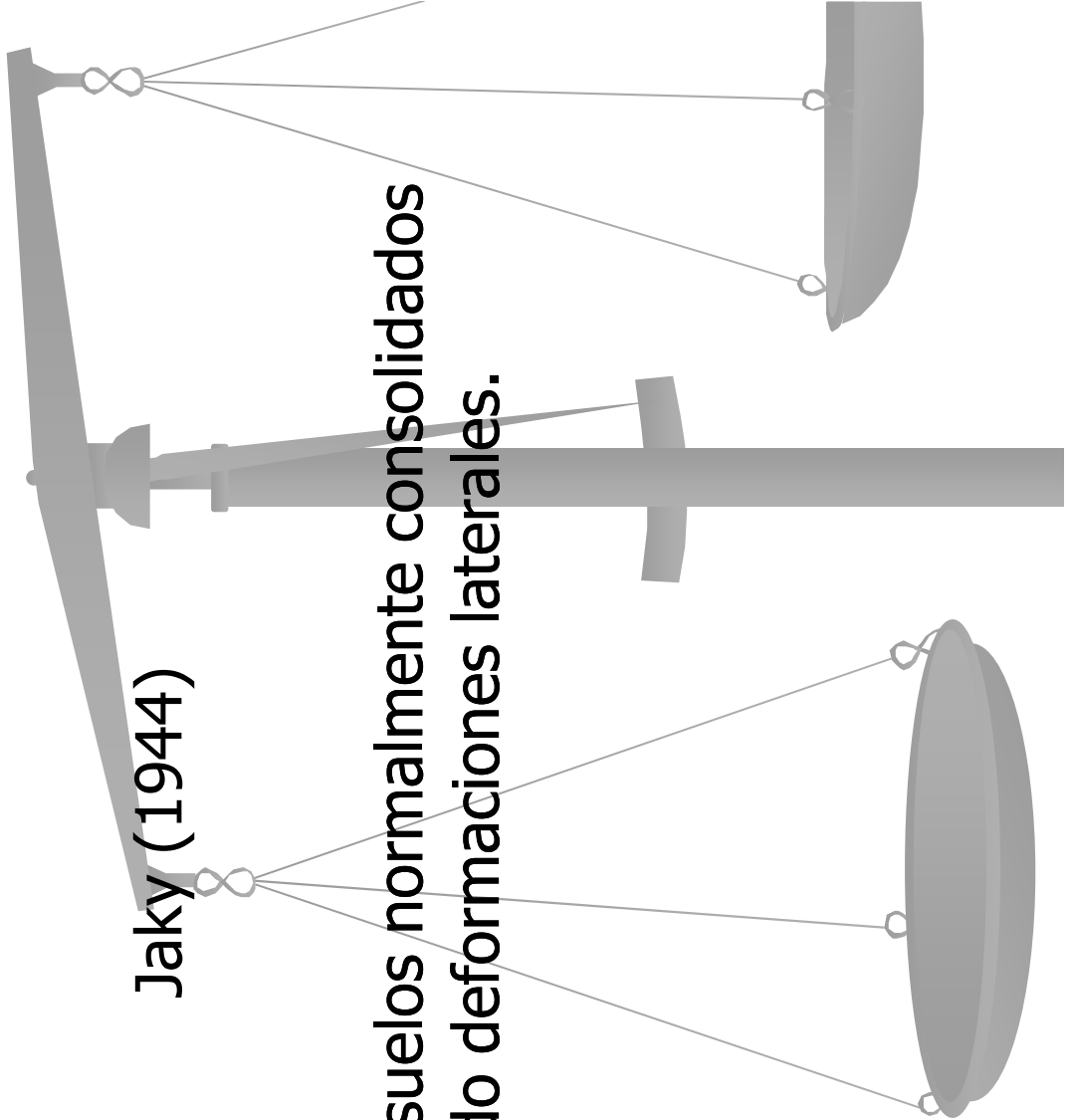


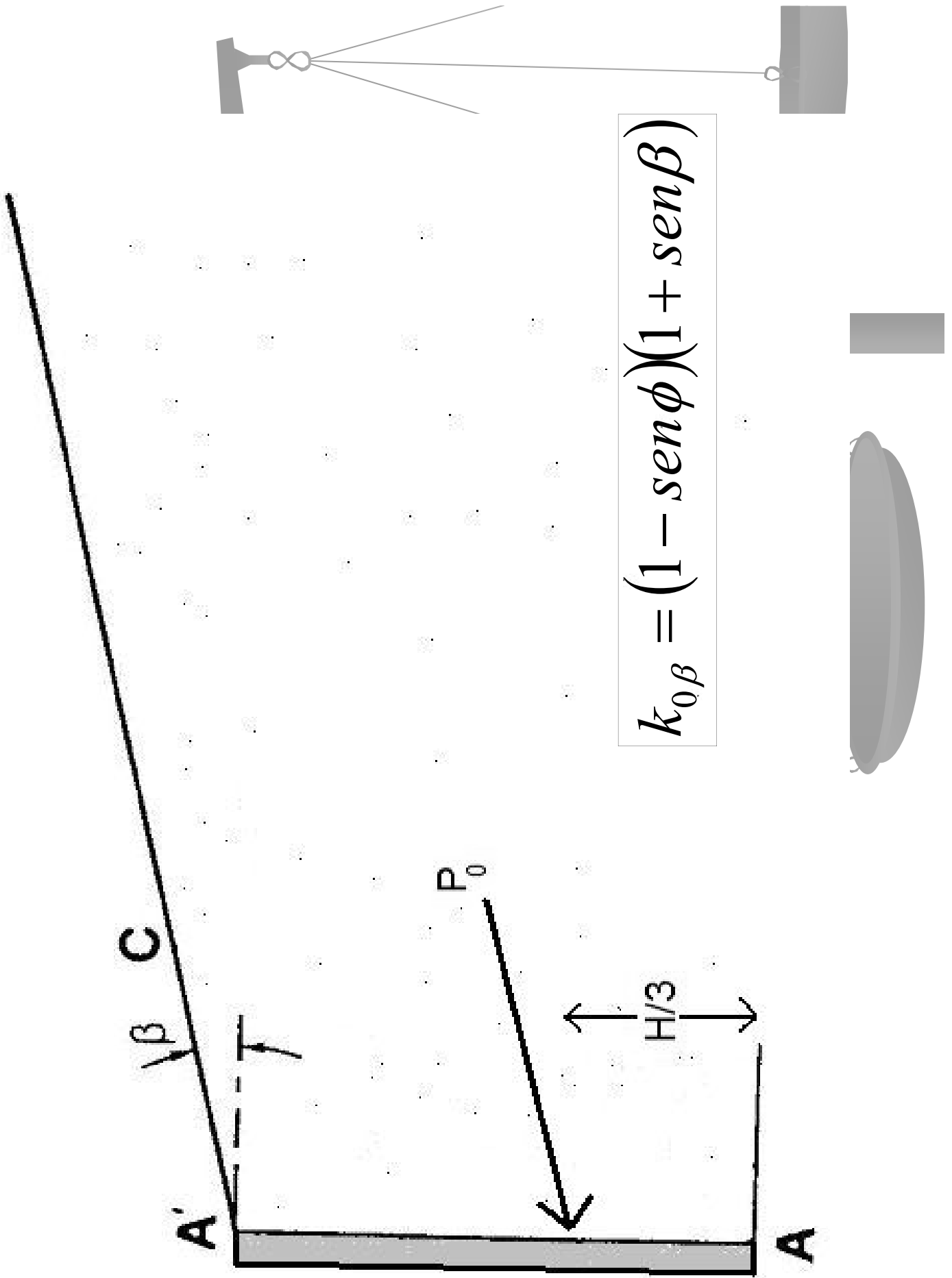
Empuje en reposo

$$k_0 = 1 - \operatorname{sen}\phi$$

Jaky (1944)

- Ecuación válida para suelos normalmente consolidados que no han presentado deformaciones laterales.



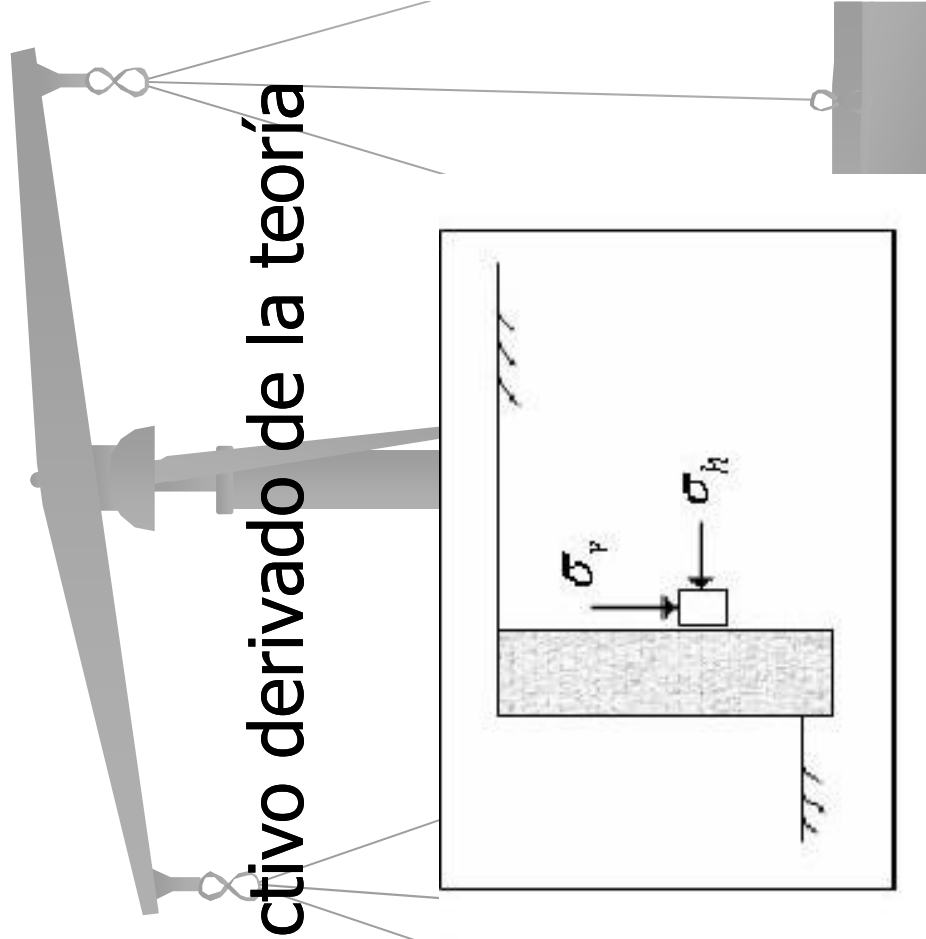


$$k_{0,OC} = (1 - \sin\phi)OCR^{0.5}$$

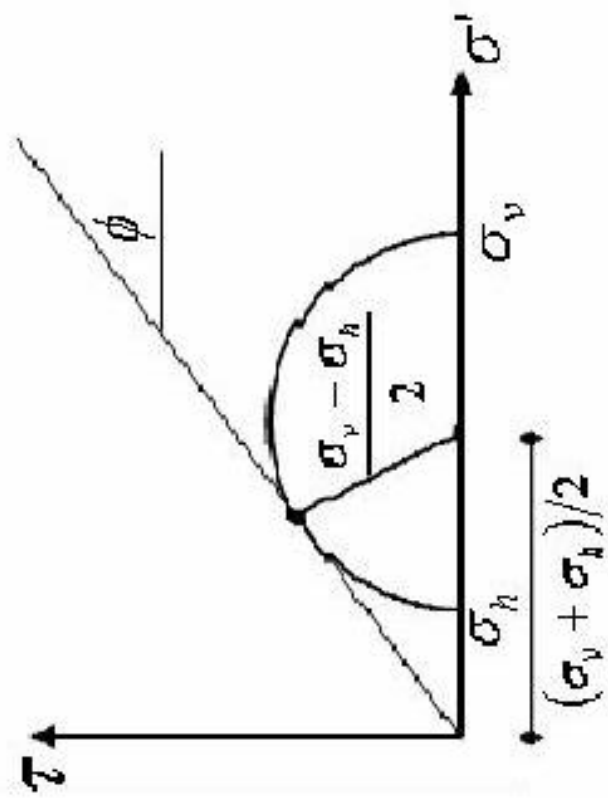
- Para suelos levemente preconsolidados $OCR < 5$
- (Canadian Geotechnical Society, 1985)
- Para suelos con un nivel de pre-consolidación mayor se recomienda el uso de k_p

Empuje activo

$$k_a = \frac{1 - \operatorname{sen} \phi}{1 + \operatorname{sen} \phi} = \tan^2 \left(45 - \phi/2 \right)$$



- Coeficiente de empuje activo derivado de la teoría de Rankine.

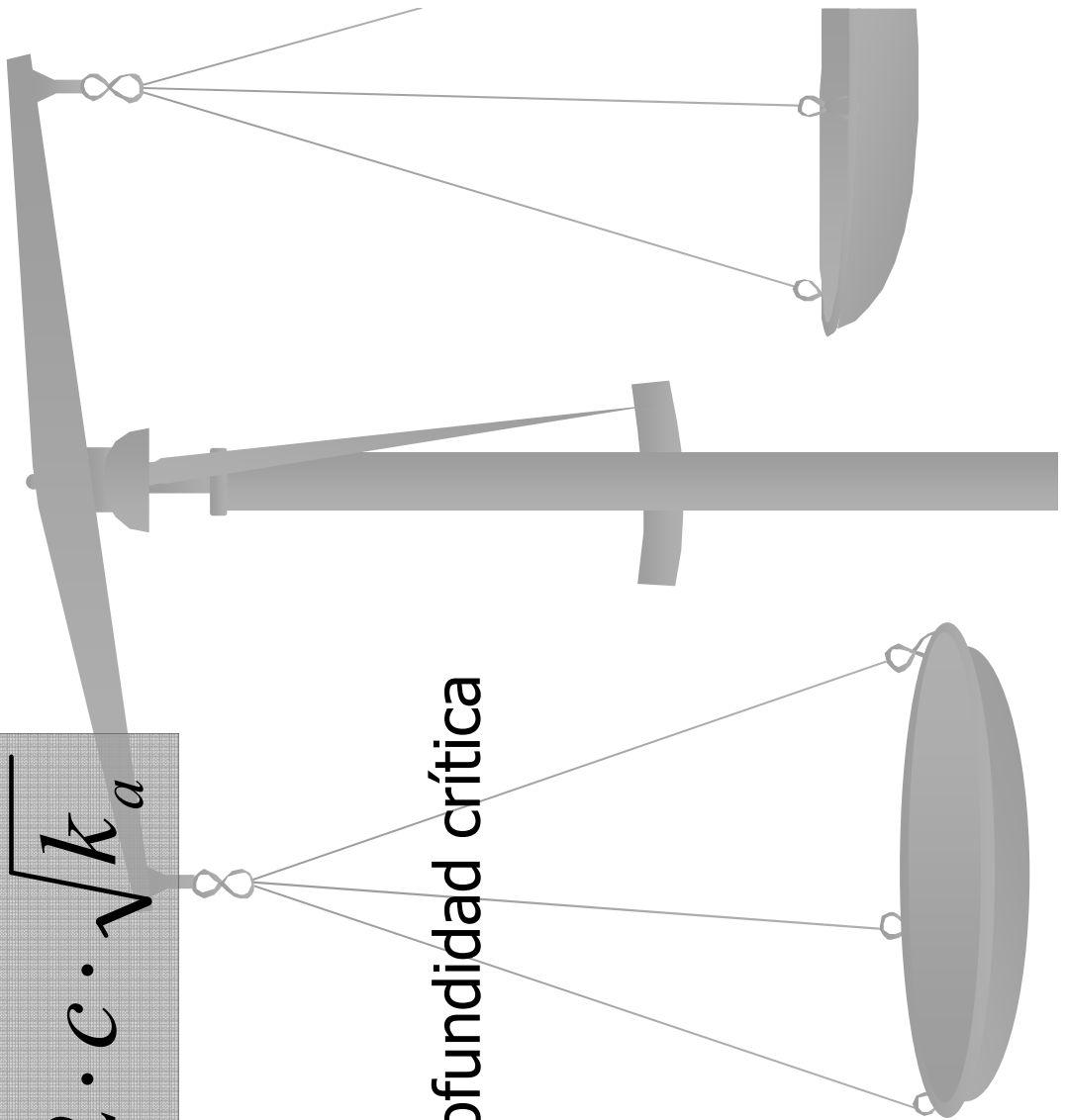


Suelos cohesivos

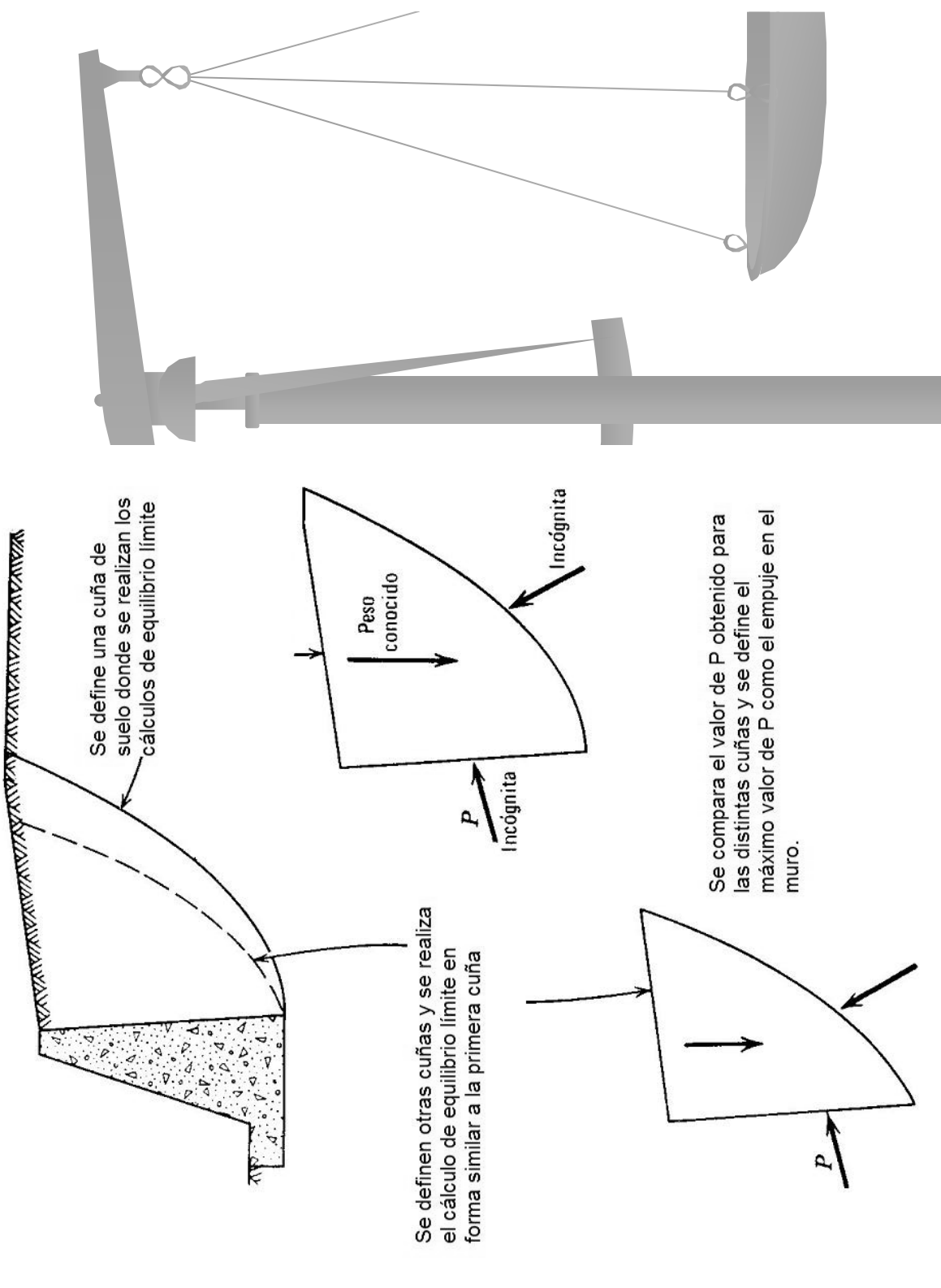
$$P_a = k_a \cdot \gamma \cdot z - 2 \cdot c \cdot \sqrt{k_a}$$

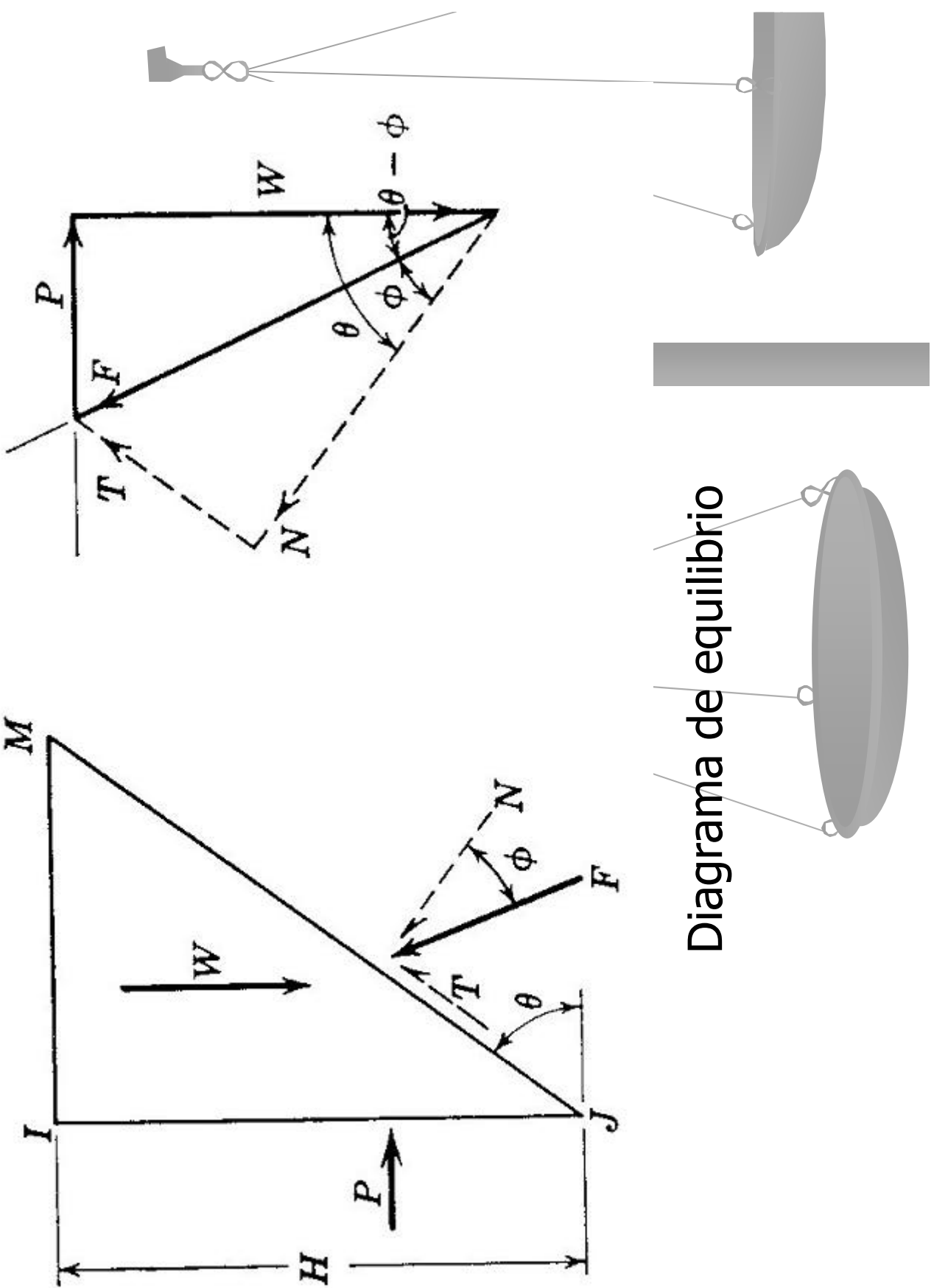
$$z_0 = \frac{1}{\gamma} \left(\frac{2c}{\sqrt{k_a}} - q \right)$$

Profundidad crítica

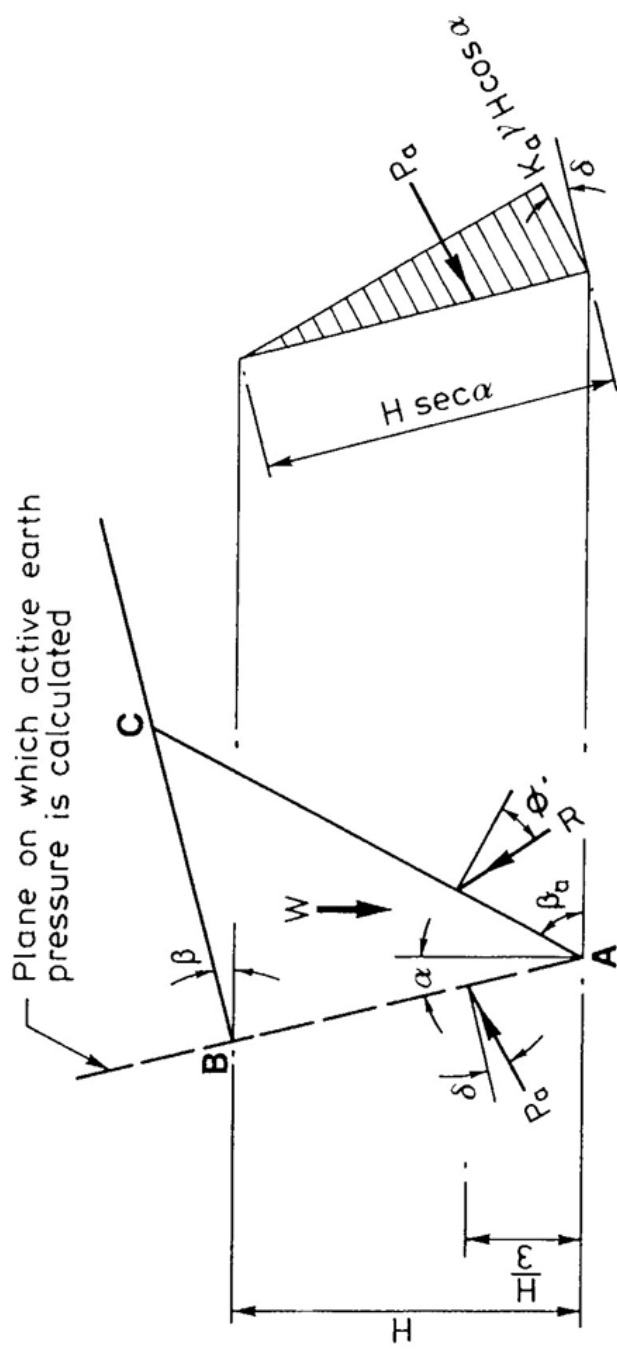
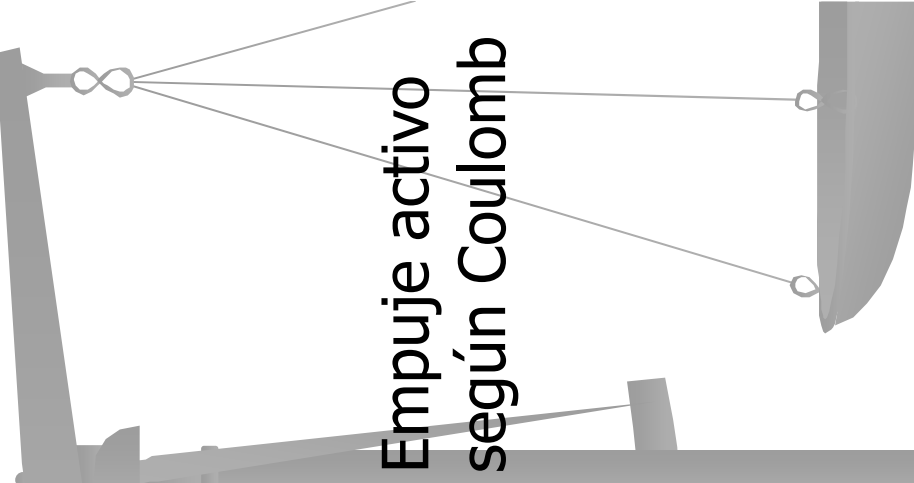


Método de la cuña (Coulomb)





Empuje activo según Coulomb



$$P_a = 0.5 K_a \gamma H^2$$

$$\text{where } K_a = \frac{\cos^2(\phi' - \alpha)}{\cos^2 \alpha \cos(\delta + \alpha) \left[1 + \sqrt{\frac{\sin(\phi' + \delta)}{\cos(\delta + \alpha)}} \frac{\sin(\phi' - \beta)}{\cos(\beta - \alpha)} \right]^2}$$

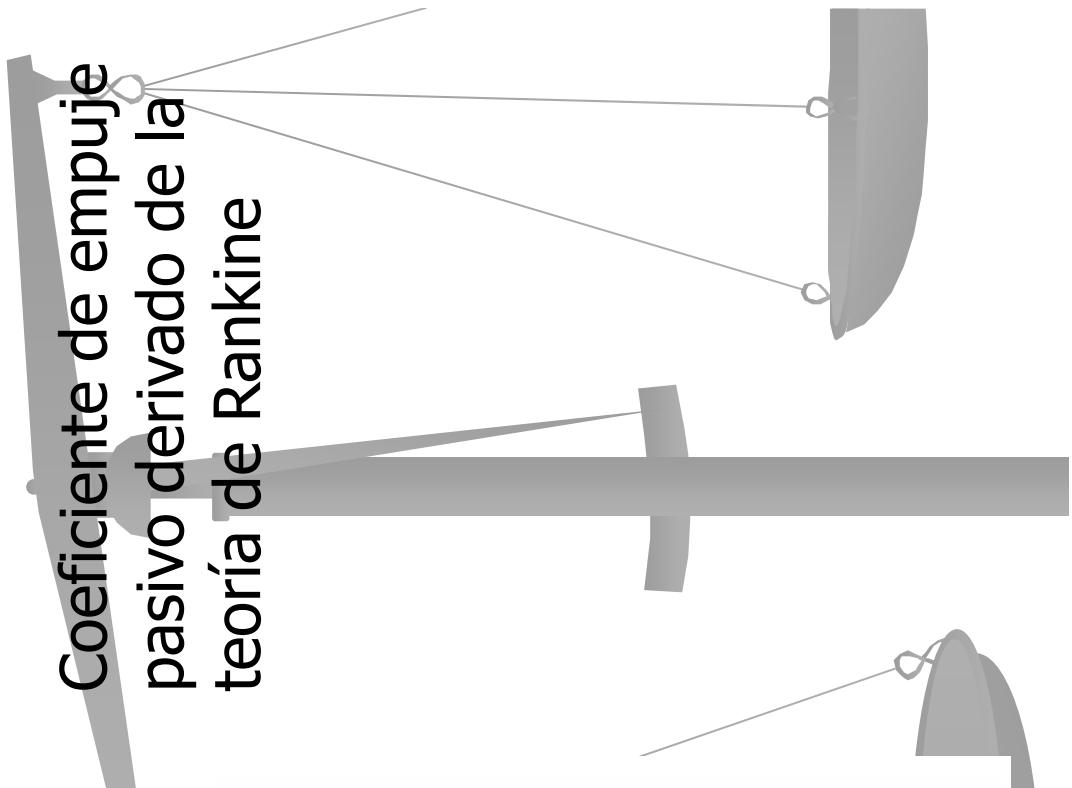
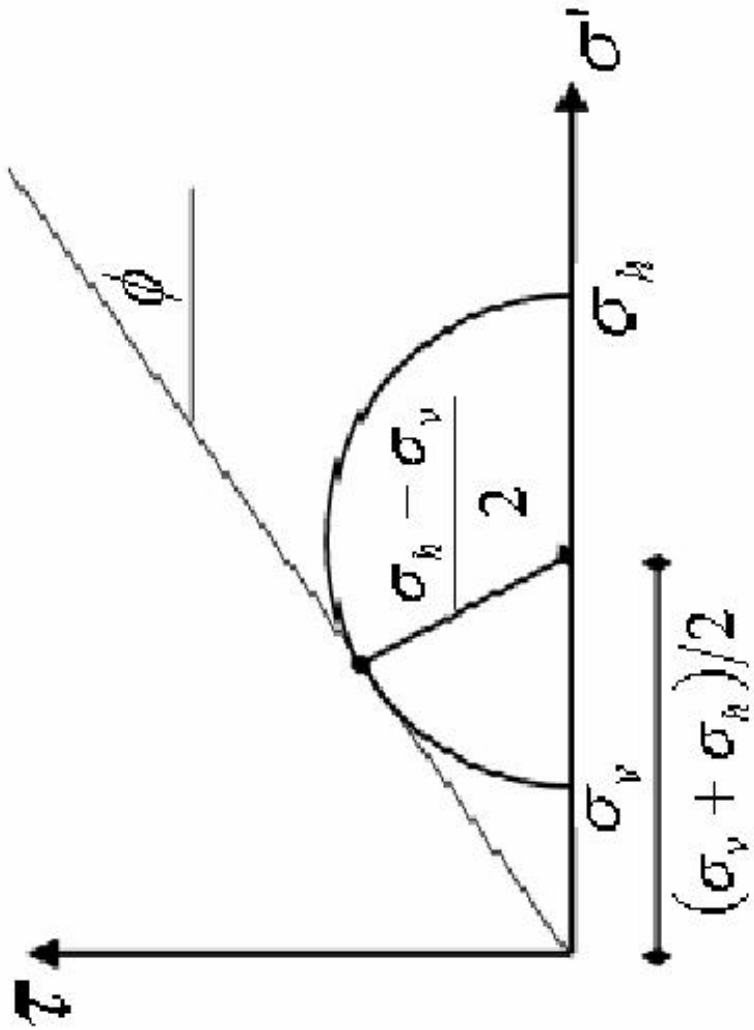
$$\cot(\beta_a - \beta) = \sec(\phi' + \delta + \alpha - \beta) \sqrt{\frac{\sin(\phi' + \delta) \cos(\delta + \alpha)}{\sin(\phi' - \beta) \cos(\beta - \alpha)}} - \tan(\phi' + \delta + \alpha - \beta)$$

For $\alpha = 0$ and $\delta = \beta$, K_a = Rankine's value given in Figure 15 (a).

Empuje Pasivo

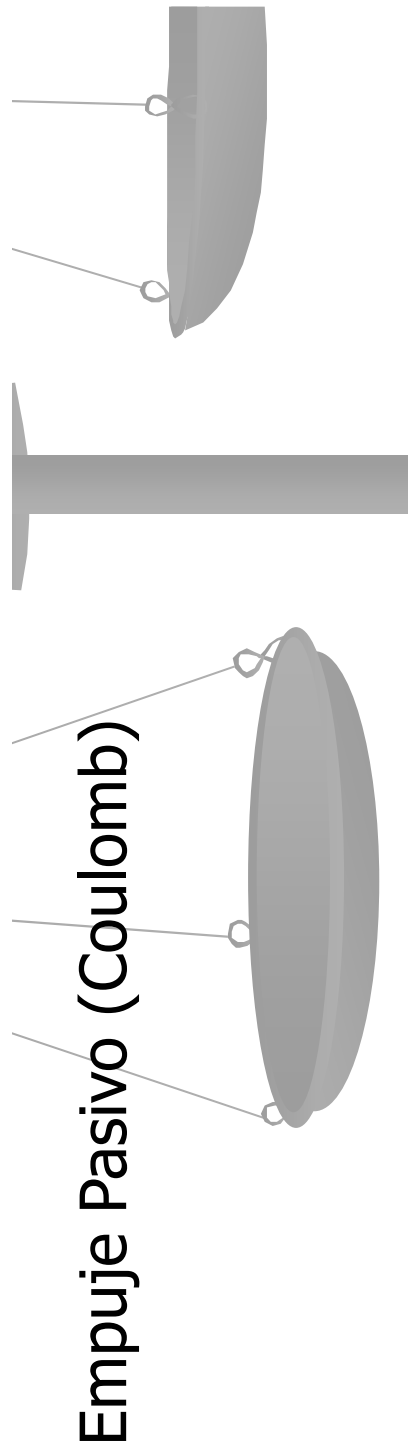
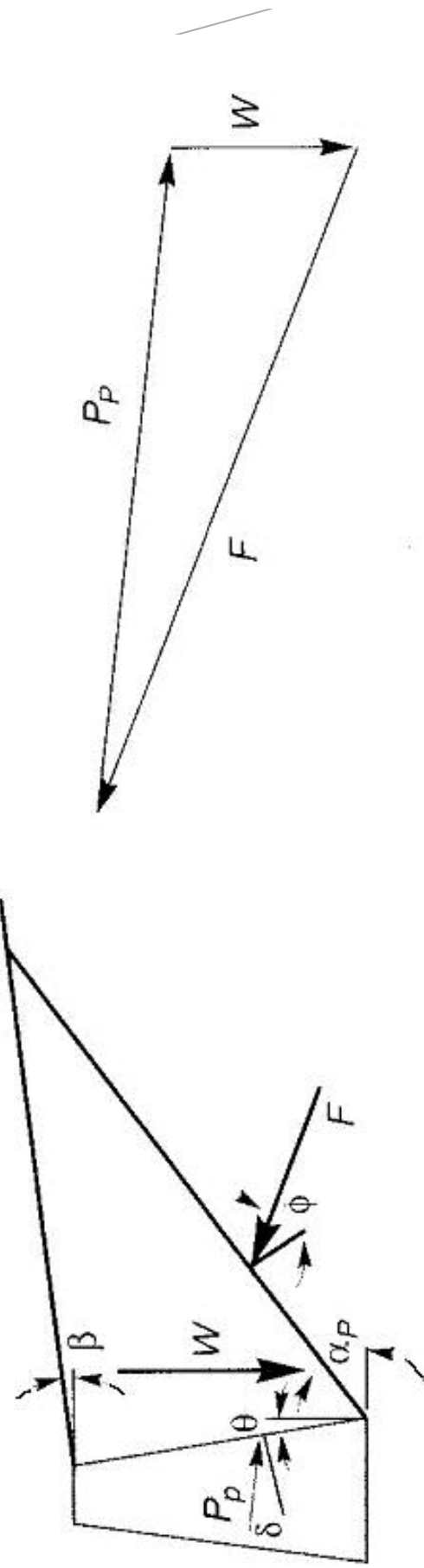
$$k_p = \frac{1 + \operatorname{sen}\phi}{1 - \operatorname{sen}\phi} = \tan^2 \left[45 + \frac{\phi}{2} \right]$$

Coeficiente de empuje pasivo derivado de la teoría de Rankine



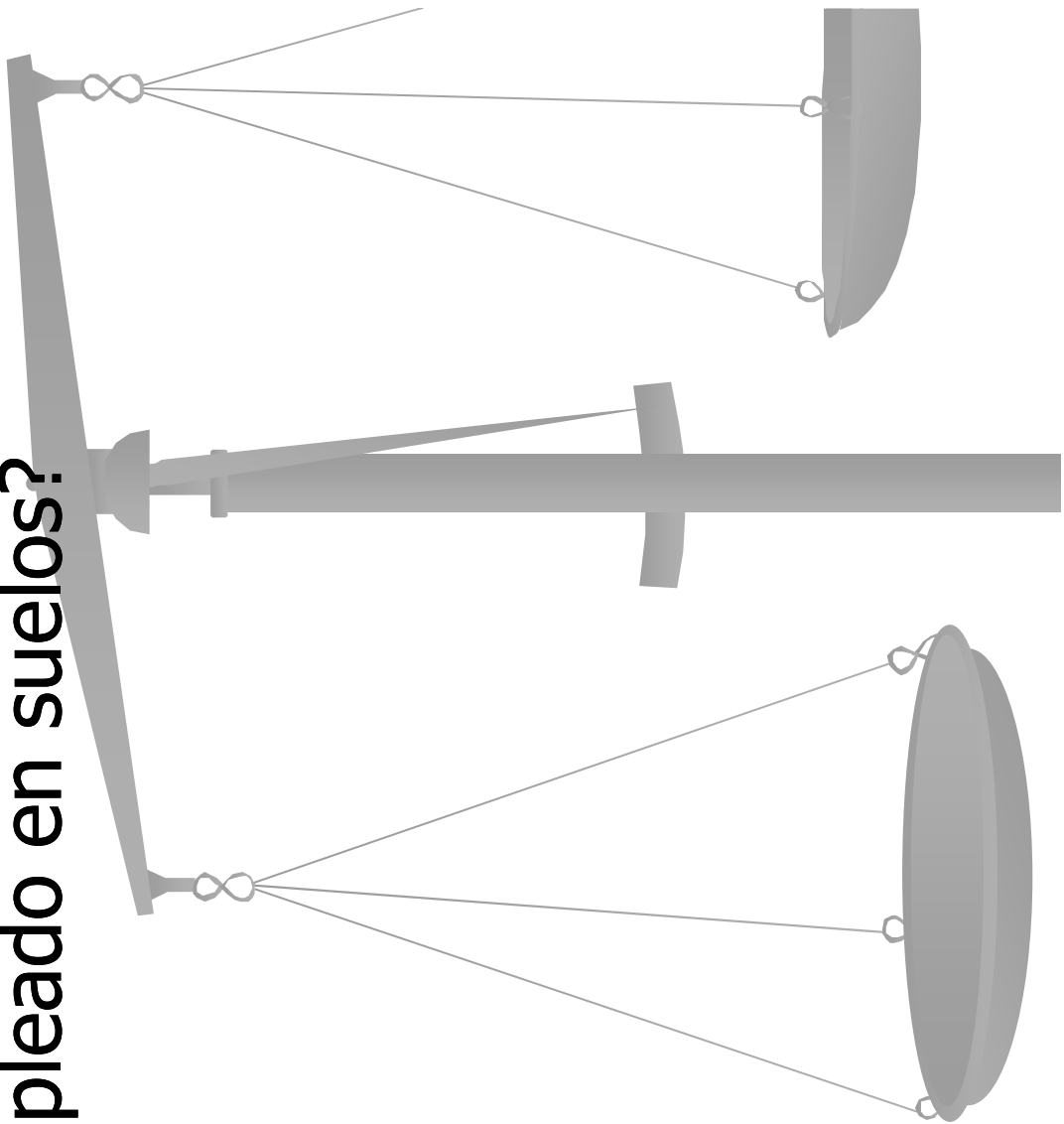
$$P_P = \frac{1}{2} K_P \gamma H^2$$

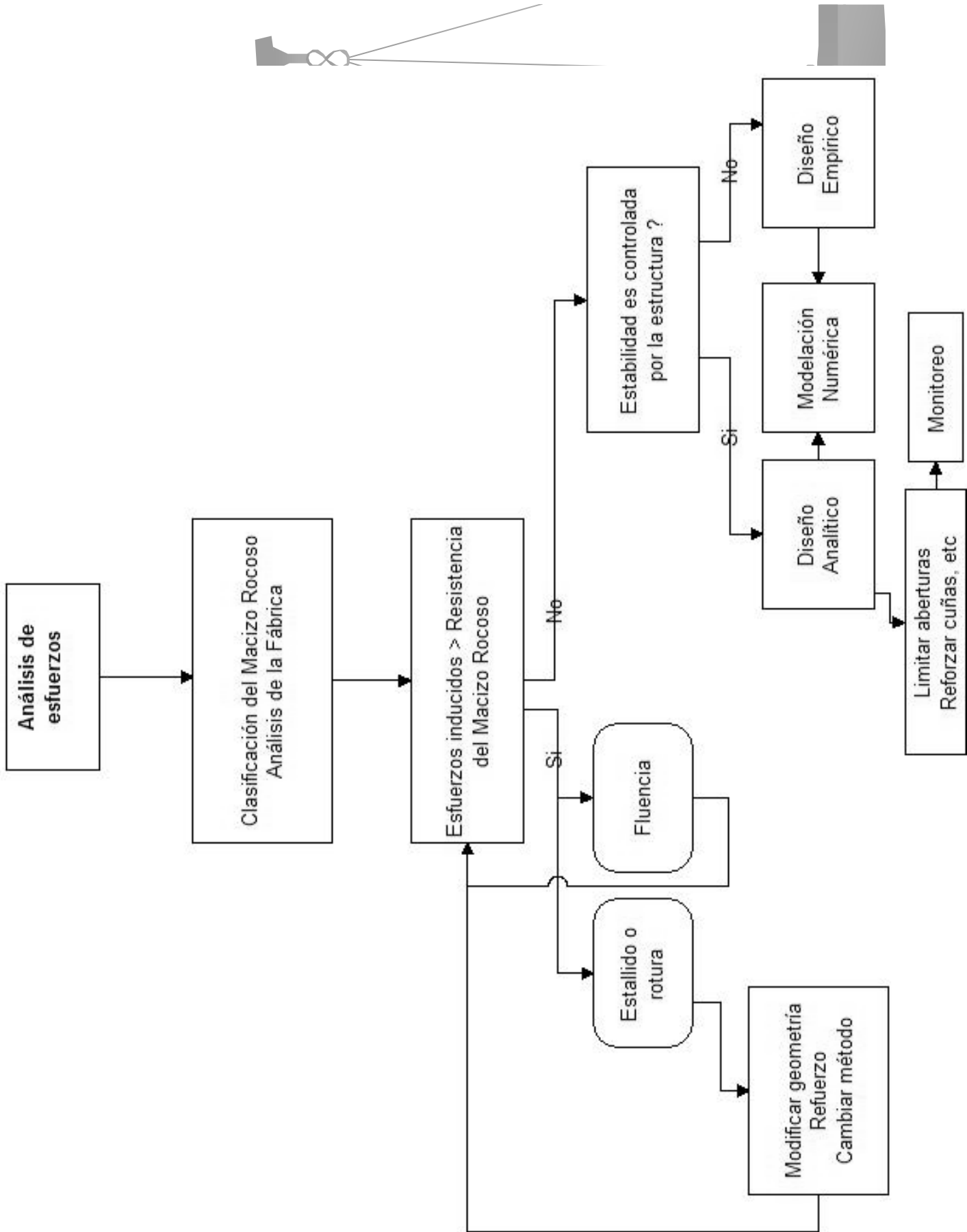
$$K_P = \frac{\cos^2(\phi + \theta)}{\cos^2\theta \cos(\delta - \theta) \left[1 + \sqrt{\frac{\sin(\delta + \phi) \sin(\phi + \beta)}{\cos(\delta - \theta) \cos(\beta - \theta)}} \right]^2}$$



Empuje de Rocas

- ¿ES válido lo empleado en suelos?





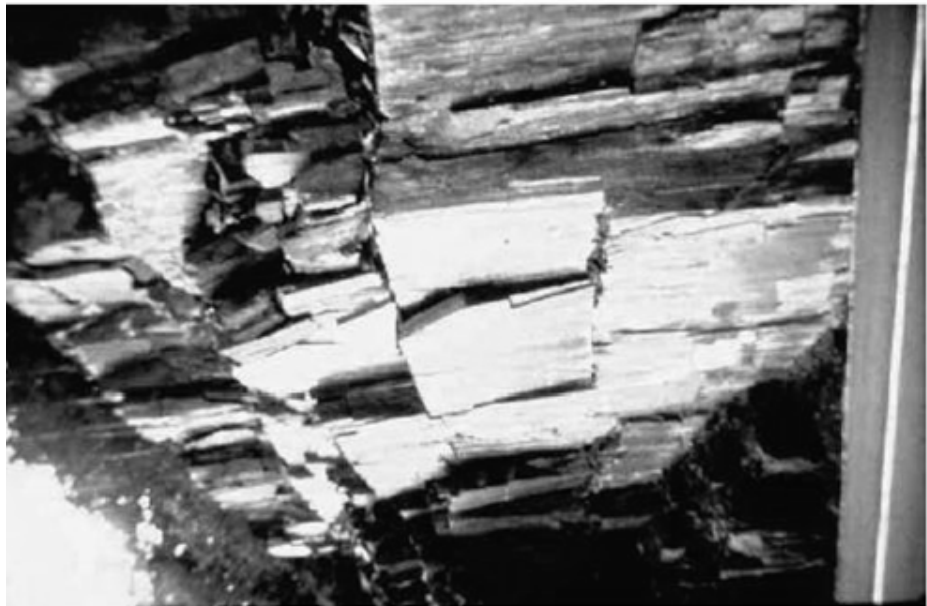
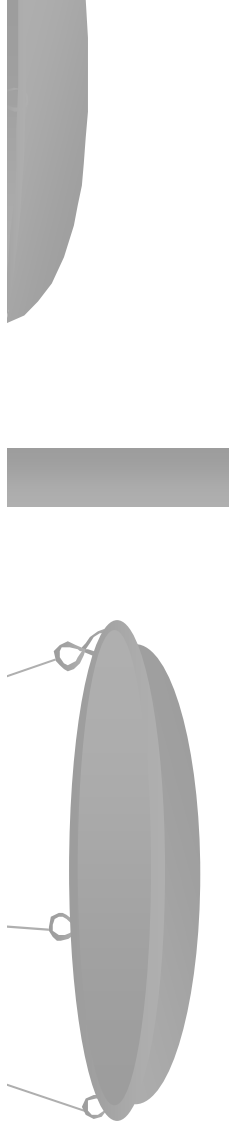
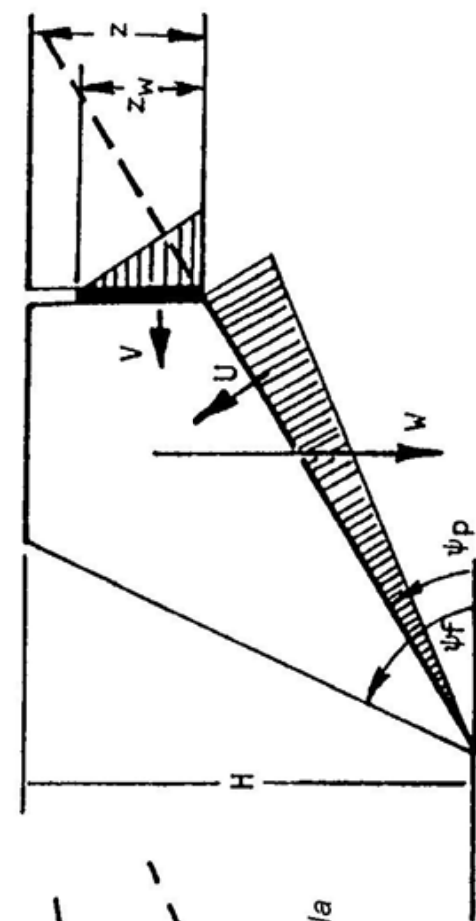
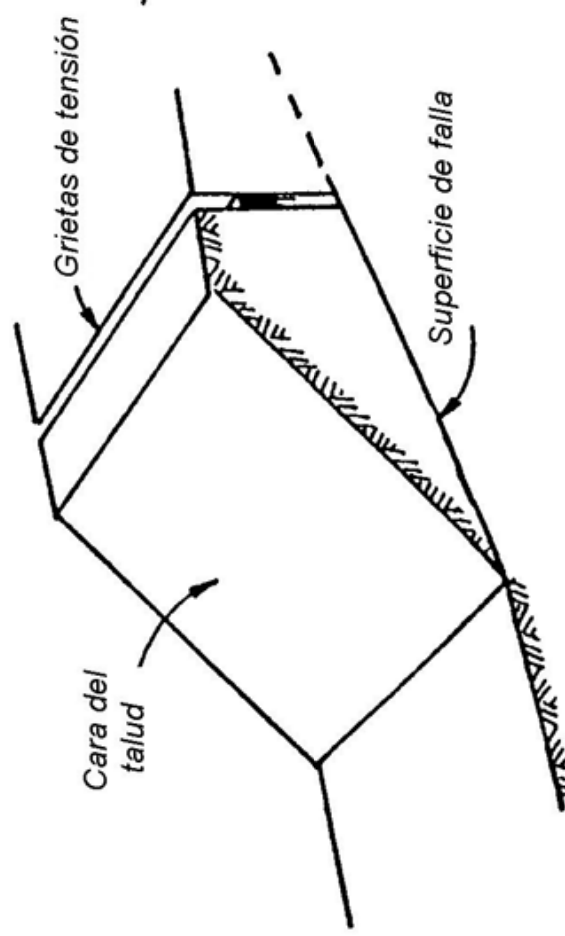


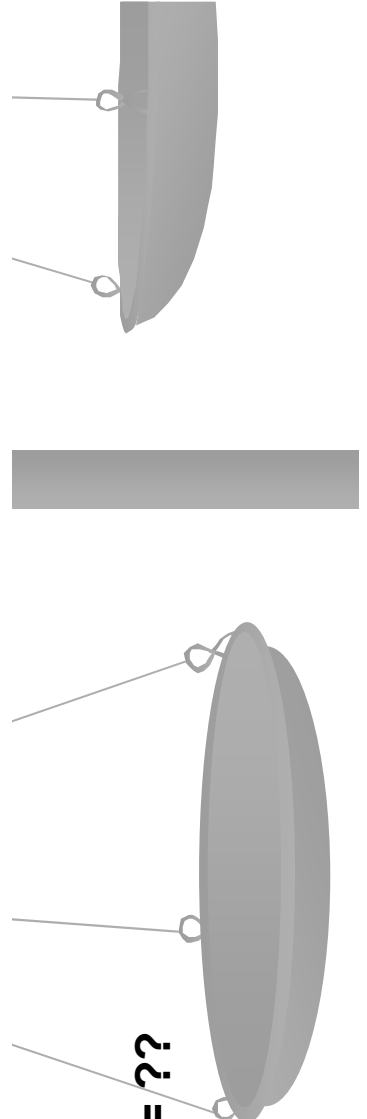
Figure 3. Example of wedge, planar, and toppling failures along road cuts.



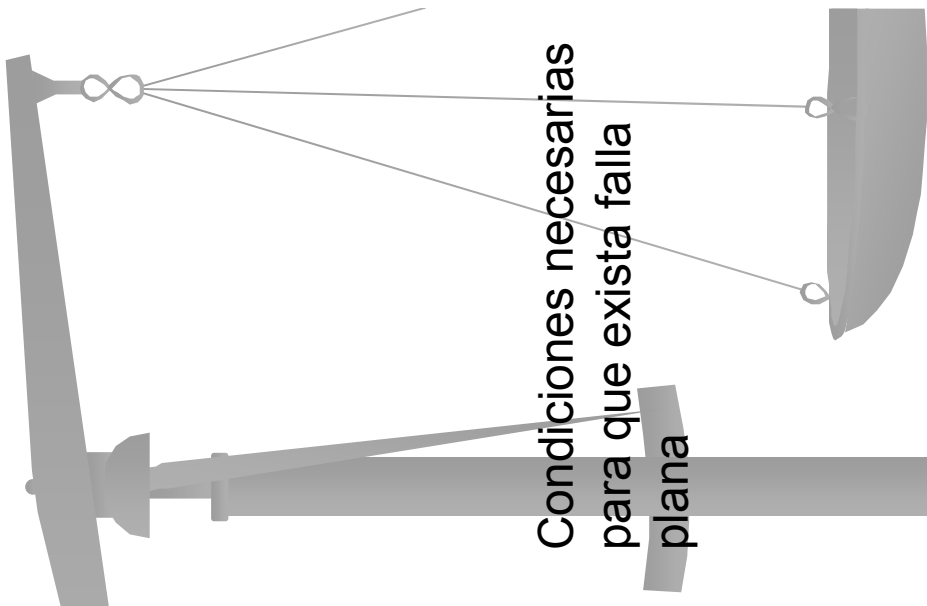
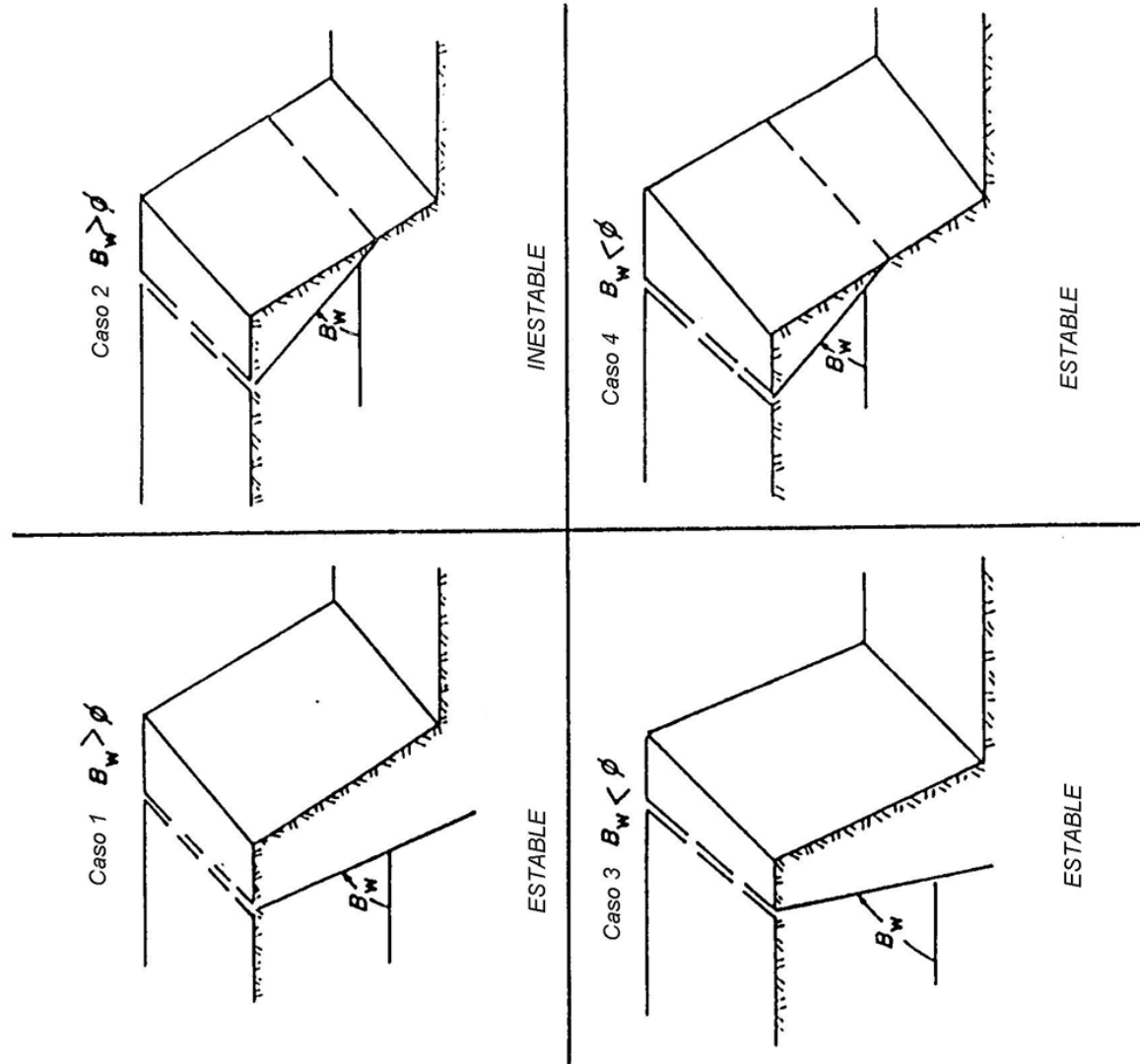
Análisis 2-D de falla plana



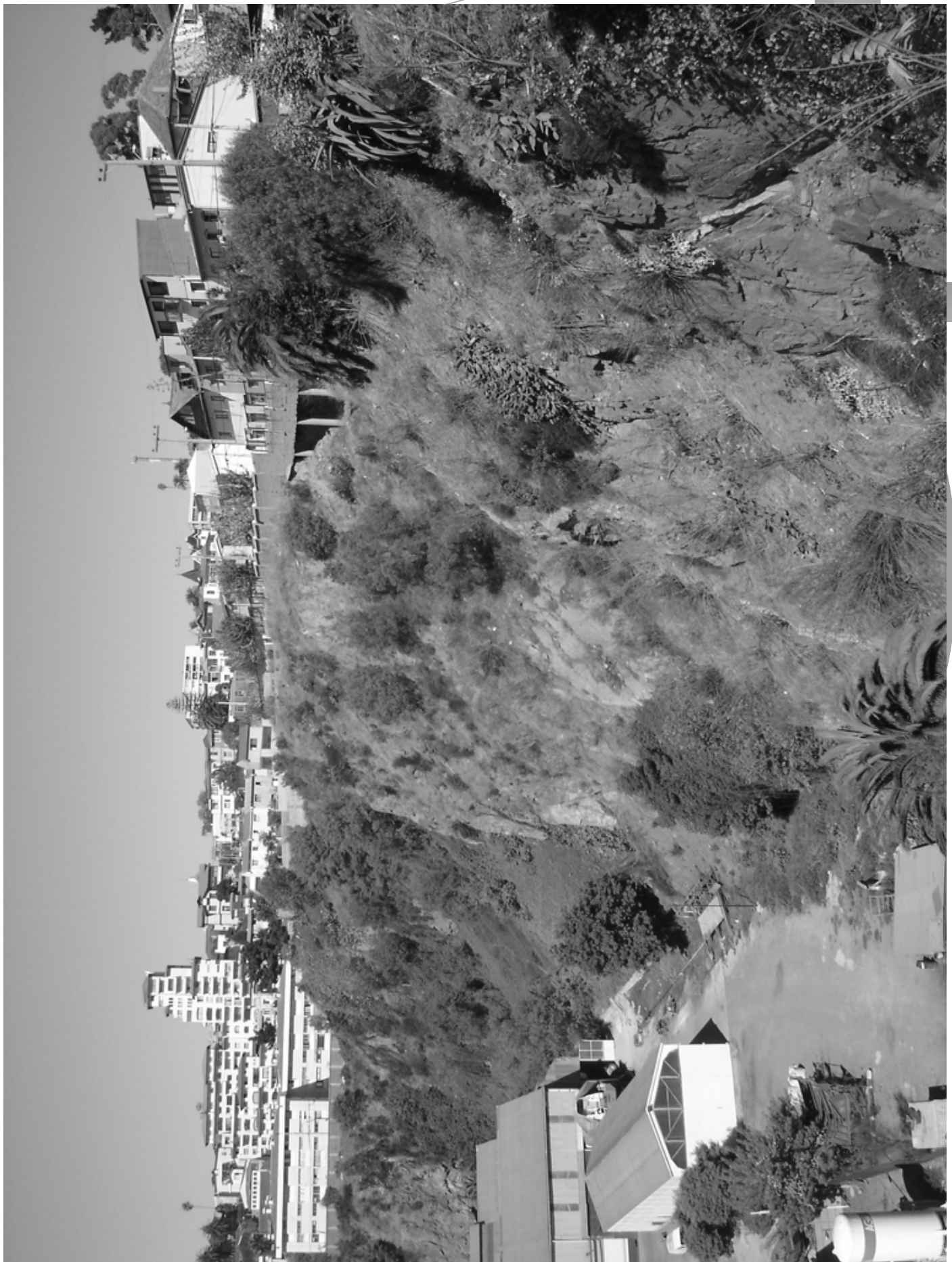
Análisis Mohr-Coulomb. F.S. = ??



Falla plana



Condiciones necesarias
para que exista falla
plana







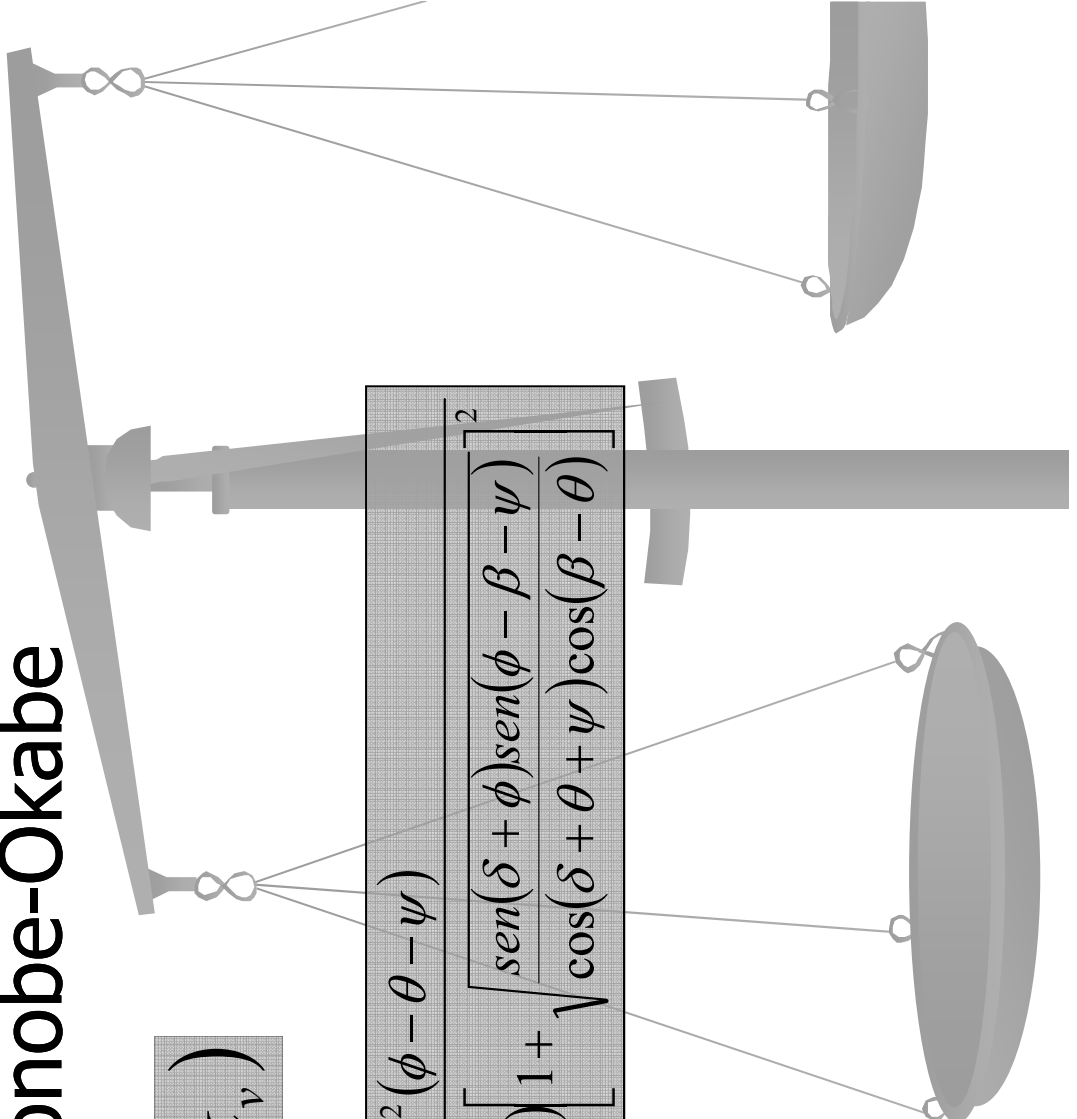
Empujes Sísmicos

■ Método de Mononobe-Okabe

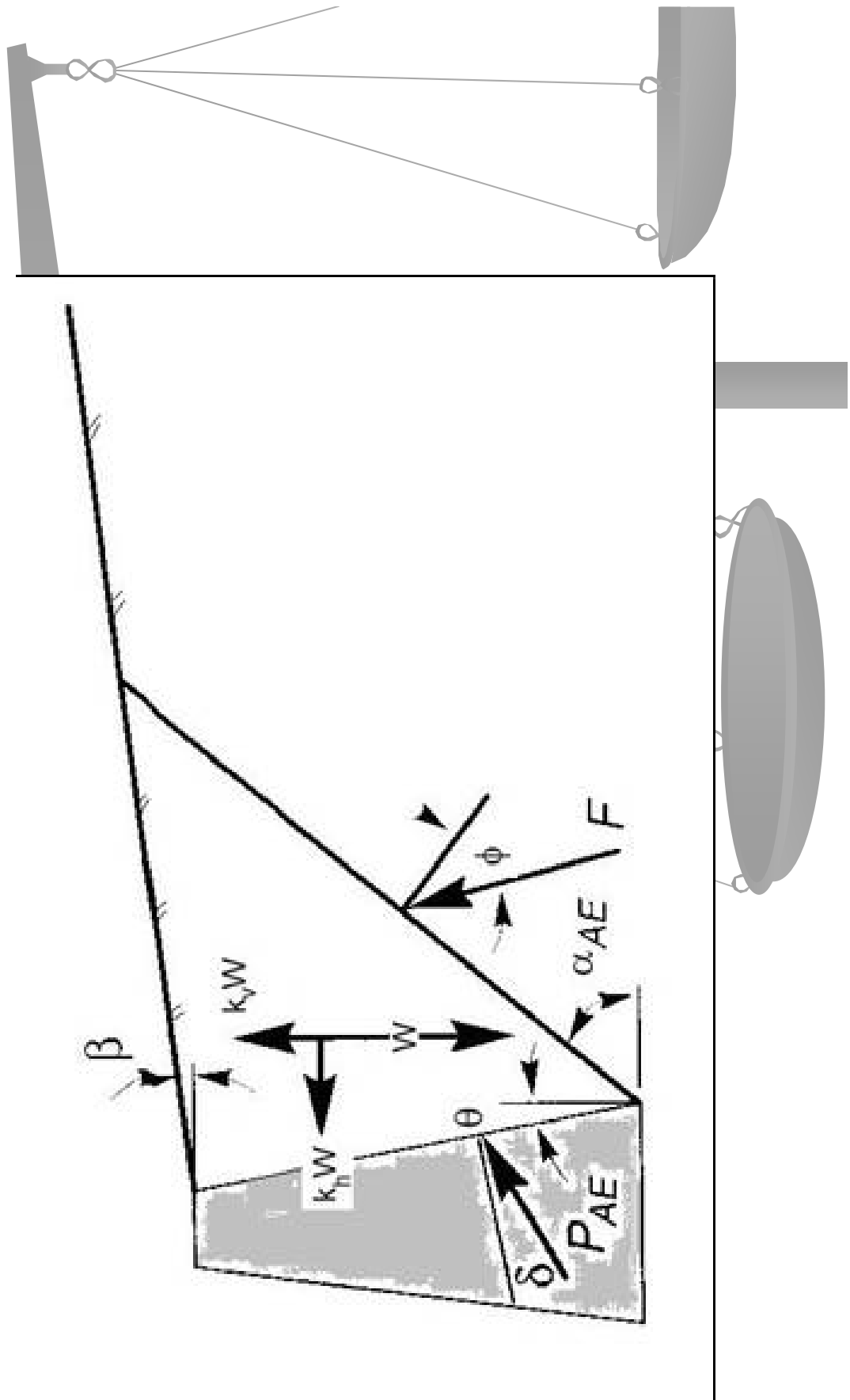
$$P_{act} = \frac{1}{2} K_{AE} \gamma H^2 (1 - k_v)$$

$$K_{AE} = \frac{\cos^2(\phi - \theta - \psi)}{\cos\psi \cos^2\theta \cos(\delta + \theta + \psi) \left[1 + \sqrt{\frac{\sin(\delta + \phi) \sin(\phi - \beta - \psi)}{\cos(\delta + \theta + \psi) \cos(\beta - \theta)}} \right]^2}$$

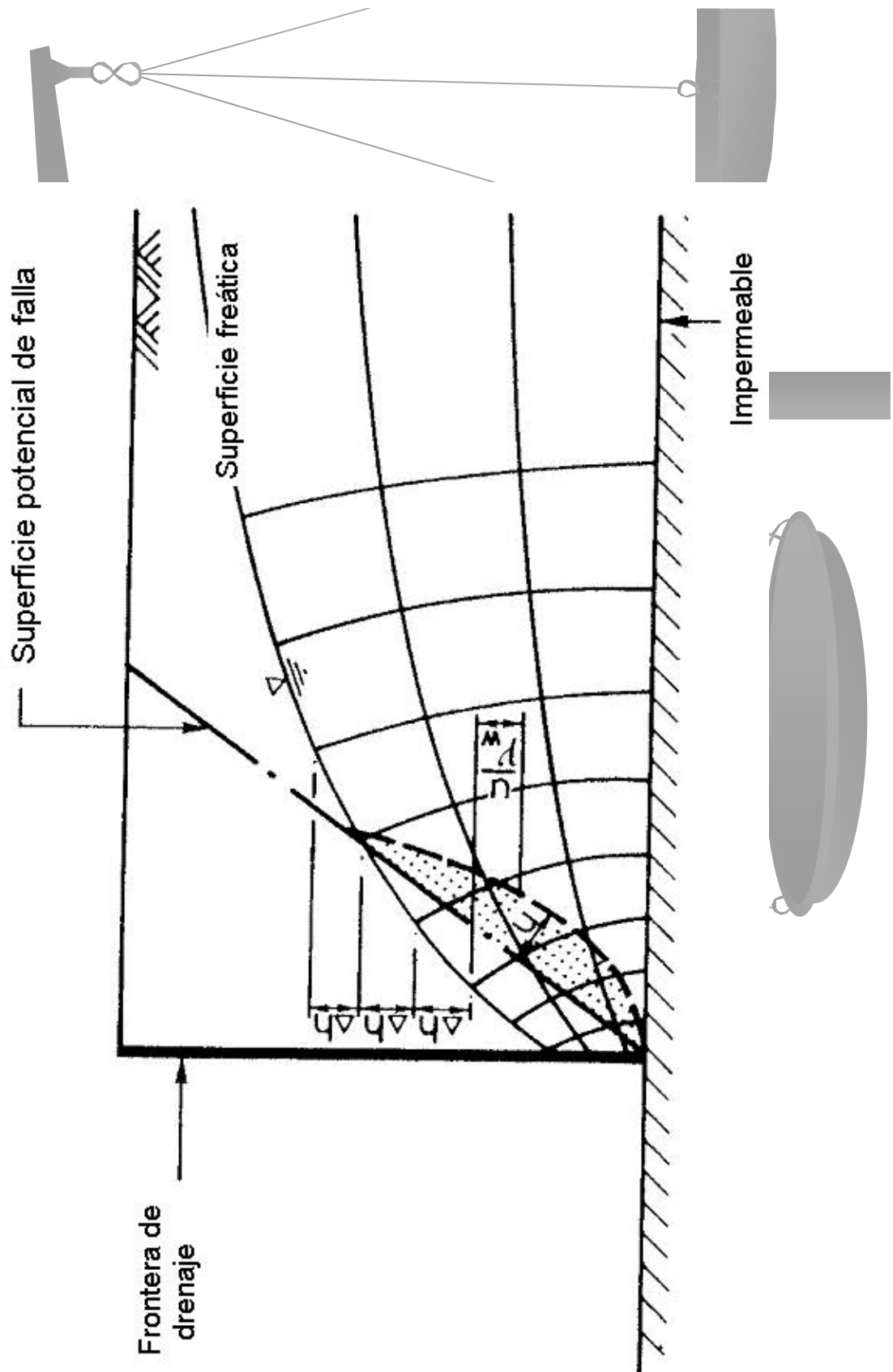
$$\psi = \arctan \left(\frac{k_h}{1 - k_v} \right)$$

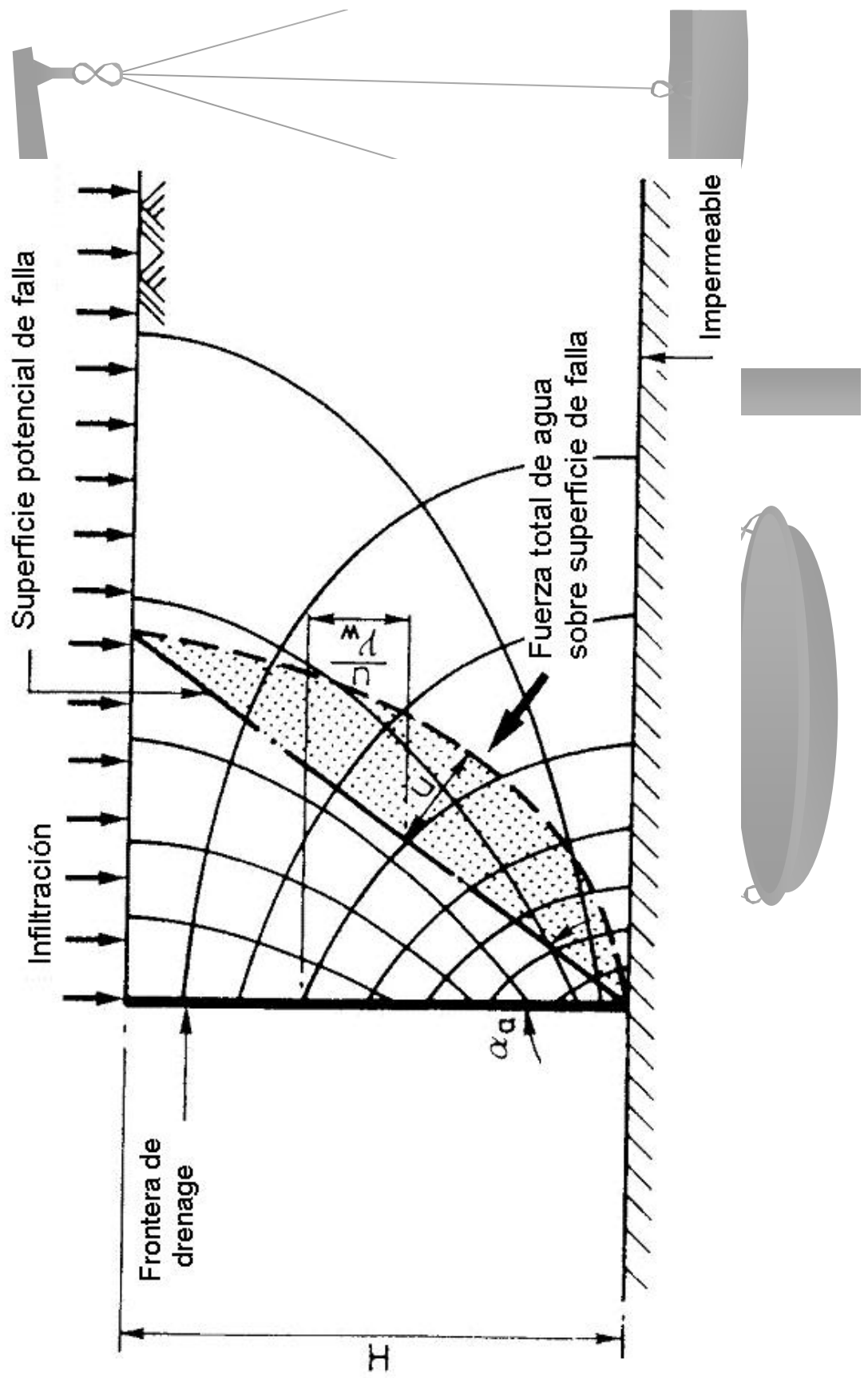


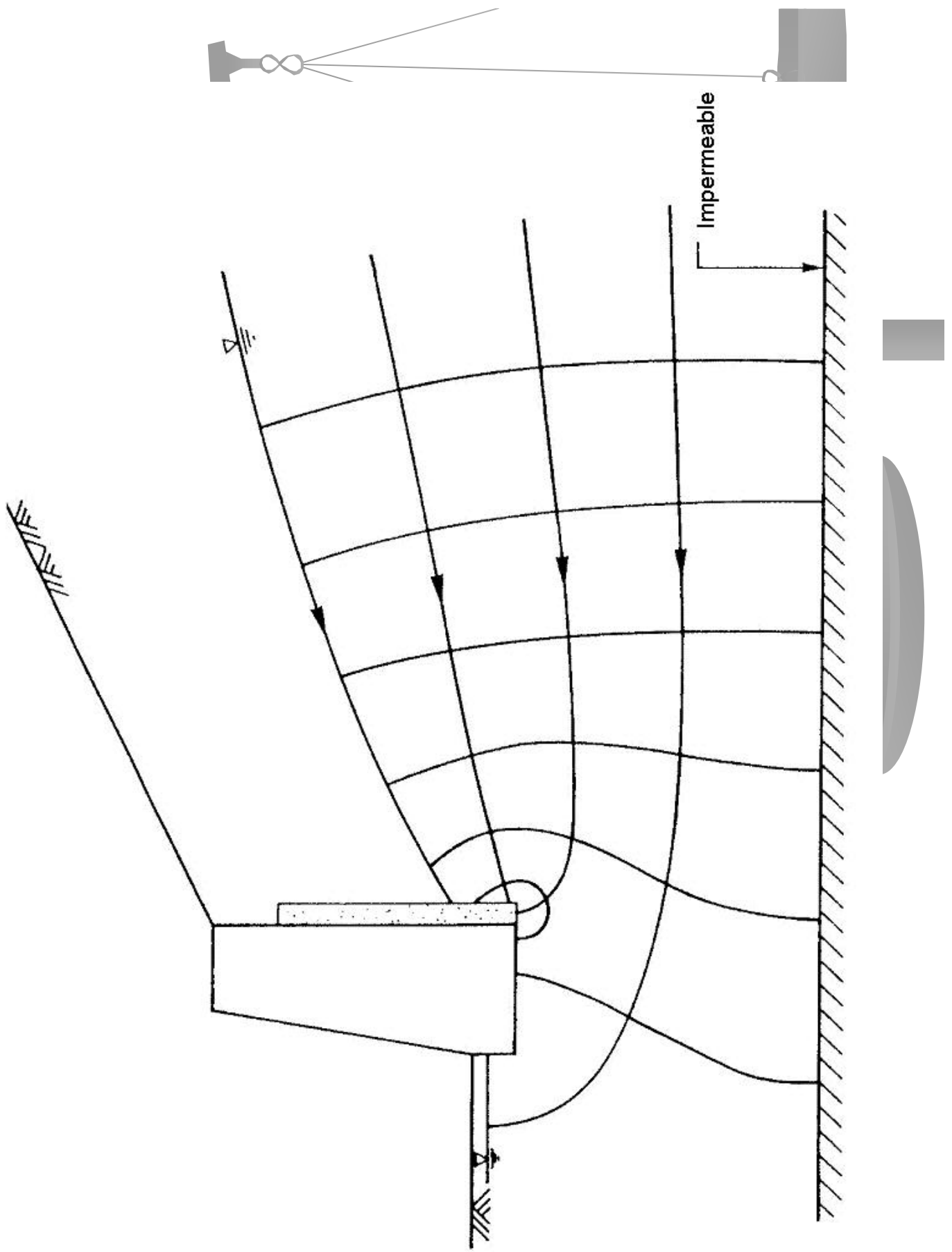
$$P = P_{est} + \Delta P$$

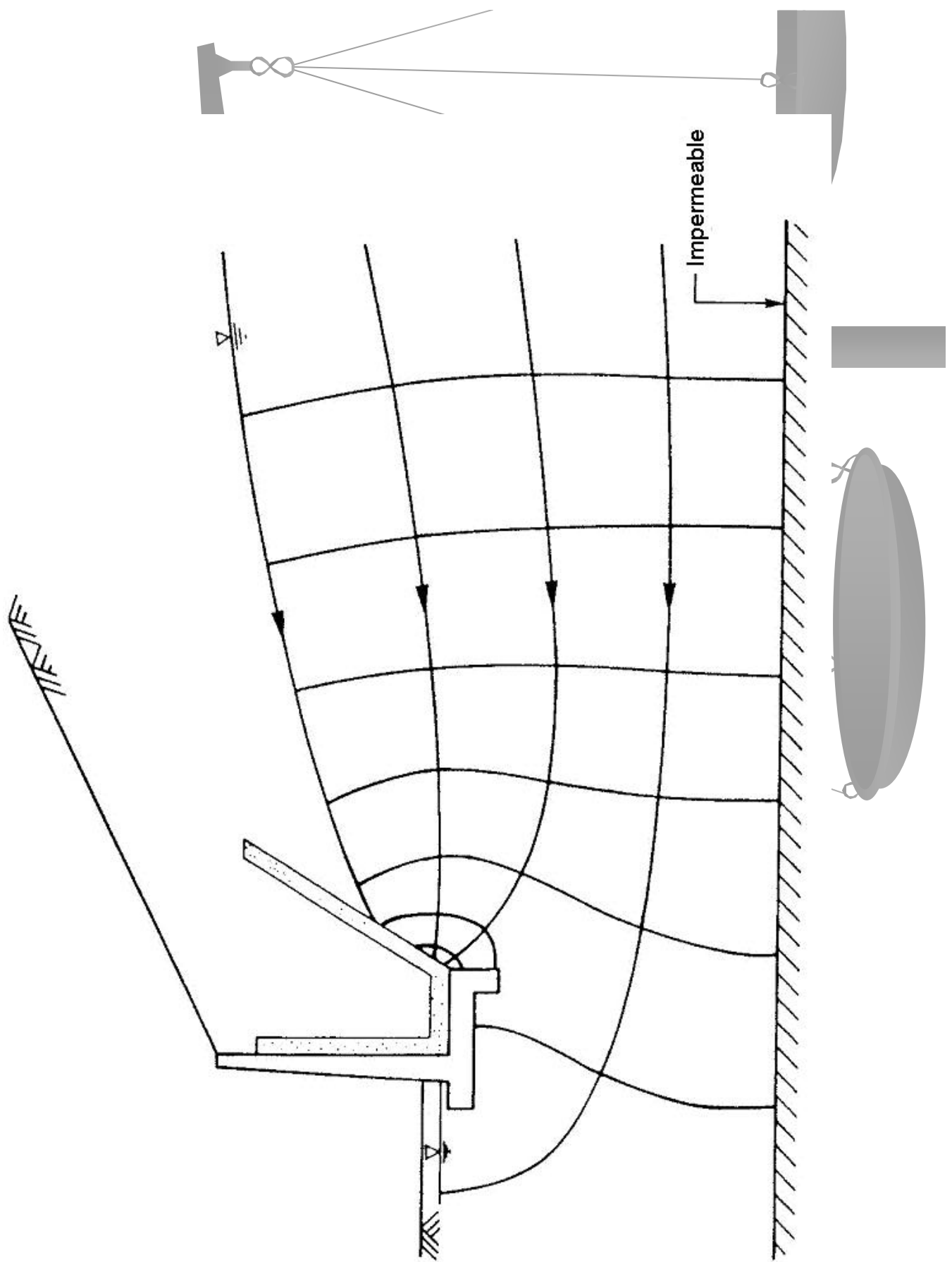


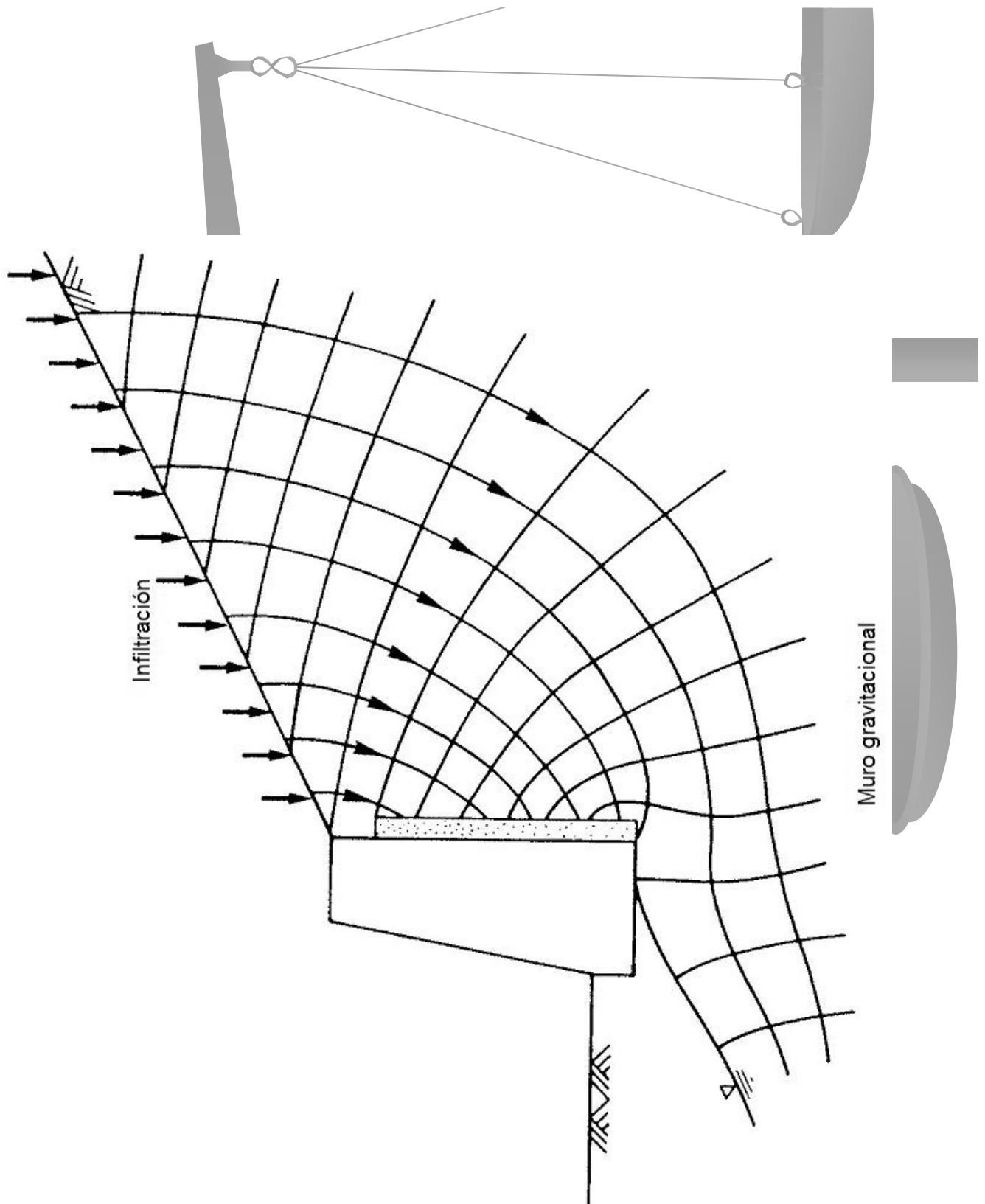
Efecto del agua en muros

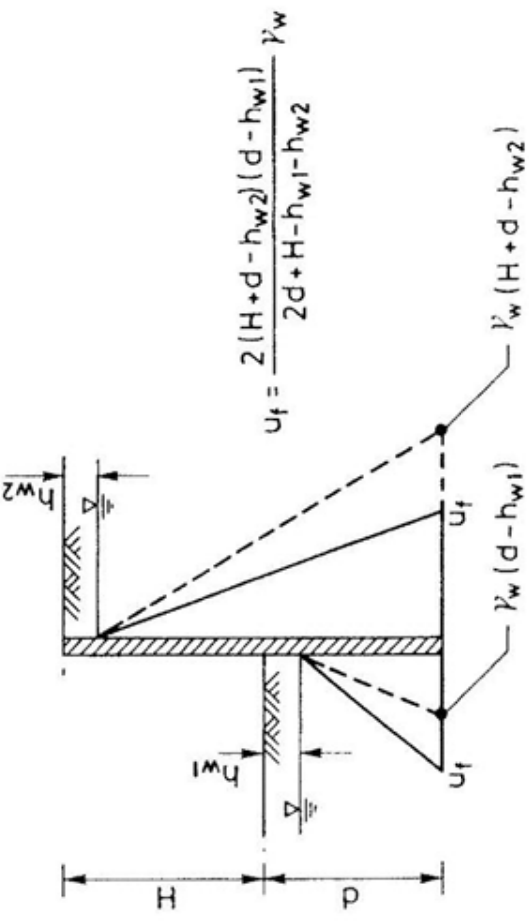




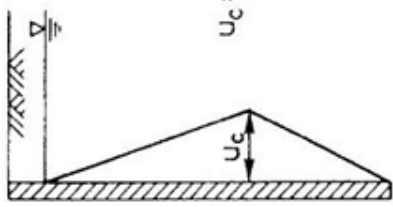








Presión de agua total a través de un tablón tacado



Presión de agua neta a través del tablón tacado

